

รหัสโครงการ SUT7-719-57-24-43



## รายงานการวิจัย

การศึกษาがらงเฉือนของรอยแตกในหินทราย  
ภายใต้ความดันในสามแกนจริง

(Shear Strength of Fracture in Sandstone  
Under True Triaxial Stresses)

ได้รับทุนอุดหนุนการวิจัยจาก  
มหาวิทยาลัยเทคโนโลยีสุรนารี

ผลงานวิจัยเป็นความรับผิดชอบของหัวหน้าโครงการวิจัยแต่เพียงผู้เดียว

รหัสโครงการ SUT7-719-57-24-43



## รายงานการวิจัย

### การศึกษาがらงเฉือนของรอยแตกในหินทราย ภายใต้ความคืบในสามแกนจริง

(Shear Strength of Fracture in Sandstone  
Under True Triaxial Stresses)

#### หัวหน้าโครงการ

รองศาสตราจารย์ ดร.กิตติเทพ เพื่องช الرحمن  
สาขาวิชาเทคโนโลยีธรณี  
สำนักวิชาวิศวกรรมศาสตร์

ได้รับทุนอุดหนุนการวิจัยจากมหาวิทยาลัยเทคโนโลยีสุรนารี ปีงบประมาณ พ.ศ. 2557 และ 2558  
ผลงานวิจัยเป็นความรับผิดชอบของหัวหน้าโครงการวิจัยแต่เพียงผู้เดียว

พฤษภาคม 2558

## กิตติกรรมประกาศ

การวิจัยครั้งนี้ได้รับทุนอุดหนุนการวิจัยจาก มหาวิทยาลัยเทคโนโลยีสุรนารี ประจำปีงบประมาณ พ.ศ. 2557 และ 2558 ซึ่งงานวิจัยสามารถสำเร็จลุล่วงได้ด้วยดีก็ตัวความช่วยเหลือจากทีมงานหน่วยวิจัยกลศาสตร์ธรณีในการทดสอบและ นางสาวกัญญา พับโพธิ์ ในการพิมพ์รายงานการวิจัย ผู้วิจัยขอขอบคุณมา ณ โอกาสนี้

ผู้วิจัย

พฤษภาคม 2558



## บทคัดย่อ

การทดสอบกำลังรับแรงเฉือนในสามแgn จริงได้ดำเนินการเพื่อตรวจสอบค่ากำลังรับแรงเฉือนของรอยแตกที่ถูกจำลองขึ้นในพิมพ์รายสามชนิดของประเทศไทยด้วยโครงกดทดสอบแบบหลายแgn เพื่อให้ความเค้นล้อมรอบ ( $\sigma_p$  และ  $\sigma_o$ ) ต่ำตัวอย่างที่มีลักษณะเป็นบล็อกสี่เหลี่ยมผืนผ้า และมีขนาด  $76 \times 76 \times 126$  mm ระยะทางของรอยแตกที่ถูกจำลองขึ้นทำมุมเอียง 59.1 องศา กับความเค้นหลักในแนวแกน โดยผลจากการทดสอบแสดงให้เห็นว่าความเค้นล้อมรอบที่ขานกับระบบรอยแตกสามารถลดกำลังรับแรงเฉือนของรอยแตกได้ ภายใต้ความเค้นตั้งจากเดียวกันรอยแตกที่อยู่ภายใต้ความเค้นล้อมรอบที่ขานกับระบบรอยแตกที่มีค่าสูง พบว่ามีการขยายตัวของรอยแตกมีมากกว่าอยู่ภายใต้ความเค้นล้อมรอบที่ขานกับระบบรอยแตกที่มีค่าต่ำ จากกรณีของคูลอมบ์ค่าของมุมเสียดทานลดลง ในเชิงเอกสารเพนเนซีลเมื่อทำการเพิ่มอัตราส่วนของความเค้นล้อมรอบ ( $\sigma_p/\sigma_o$ ) และค่าความเค้นยึดติดจะมีค่าลดลงเมื่อเพิ่มค่าความเค้นล้อมรอบที่ขานกับระบบรอยแตก ค่าความเค้นล้อมรอบ ( $\sigma_p$ ) ไม่ส่งผลกระทบต่ค่ามุมเสียดทานพื้นฐานของรอยแตกพื้นผิวเรียบ และการทดสอบกำลังรับแรงเฉือนของรอยแตกภายใต้  $\sigma_p = 0$  พบร่วมมีความสัมพันธ์กันอย่างดีกับผลการทดสอบกำลังรับแรงเฉือนแบบโดยตรง ดังนั้น อาจตั้งสมมติฐานได้ว่าเมื่อมีการให้แรงด้านข้างในทิศทางที่ขานกับระบบรอยแตก ( $\sigma_p$ ) และเมื่อพื้นผิวของความชรุขระได้รับความเค้นดังกล่าวก็อาจเกิดความเครียดภายในพื้นผิวรอยแตก เป็นผลให้เกิดการเฉือนหรือการเลื่อนไหลดได้ง่ายกว่ากรณีที่ไม่มีความเค้นล้อมรอบ

## Abstract

True triaxial shear tests have been performed to determine the peak shear strengths of tension-induced fractures in three Thai sandstones. A polyaxial load frame is used to apply mutually perpendicular lateral stresses ( $\sigma_p$  and  $\sigma_o$ ) to the 76×76×126 mm rectangular block specimens. The normal of the fracture plane makes an angle of 59.1° with the axial (major principal) stress. Results indicate that the lateral stress that is parallel to the fracture plane ( $\sigma_p$ ) can significantly reduce the peak shear strength of the fractures. Under the same normal stress ( $\sigma_n$ ) the fractures under high  $\sigma_p$  dilate more than those under low  $\sigma_p$ . According to the Coulomb criterion, the friction angle decreases exponentially with increasing  $\sigma_p/\sigma_o$  ratio and the cohesion decreases with increasing  $\sigma_p$ . The lateral stress  $\sigma_p$  has insignificant effect on the basic friction angle of the smooth saw-cut surfaces. The fracture shear strengths under  $\sigma_p=0$  correlate well with those obtained from the direct shear tests. It is postulated that when the fractures are laterally confined by  $\sigma_p$ , their asperities are strained into the aperture, and are sheared off more easily compared to those under unconfined condition.

## สารบัญ

	หน้า
กิตติกรรมประกาศ.....	ก
บทคัดย่อภาษาไทย.....	ข
บทคัดย่อภาษาอังกฤษ.....	ง
สารบัญ.....	จ
สารบัญตาราง.....	ซ
สารบัญรูปภาพ.....	ฉ
 บทที่ 1 บทนำ.....	 1
1.1 ความสำคัญและที่มาของปัญหาที่ทำการวิจัย.....	1
1.2 วัตถุประสงค์ของโครงการวิจัย.....	2
1.3 ขอบเขตของโครงการการวิจัย.....	2
1.4 ทฤษฎี สมมติฐาน และกรอบแนวความคิดของโครงการวิจัย.....	3
1.5 วิธีดำเนินการวิจัย.....	4
1.6 ประโยชน์ที่คาดว่าจะได้รับ.....	5
1.7 หน่วยงานที่นำผลการวิจัยไปใช้ประโยชน์.....	6
 บทที่ 2 การพบทวนวรรณกรรมวิจัยที่เกี่ยวข้อง.....	 7
2.1 การพัฒนาและสร้างทฤษฎีความสัมพันธ์จากการทดสอบ.....	7
2.2 ปัจจัยต่างๆ ที่ส่งผลกระทบต่อค่ากำลังรับแรงเฉือน.....	8
2.3 การศึกษางานวิจัยที่มีการทดลองในลักษณะการให้แรงในรูปแบบ สามแคนจริง.....	9
2.4 การพัฒนาเครื่องมือการทดสอบ.....	11
 บทที่ 3 การจัดเตรียมตัวอย่าง.....	 15
3.1 การเตรียมตัวอย่างสำหรับทดสอบกำลังเฉือนของรอยแตกในสามแคนจริง (ผิวชุมชน).....	15

## สารบัญ (ต่อ)

หน้า

3.2 การเตรียมตัวอย่างสำหรับการทดสอบกำลังเฉือนภายในให้ความคื้นช่านกับรอยแตกคงที่ (ผิวเรียบ) .....	21
3.3 การเตรียมตัวอย่างสำหรับการทดสอบกำลังเฉือนแบบโดยตรง (ผิวขรุขระ) .....	27
<b>บทที่ 4 การทดสอบในห้องปฏิบัติการ .....</b>	<b>29</b>
4.1 วัตถุประสงค์ .....	29
4.2 โครงกดทดสอบในสามแgnจริง .....	29
4.3 วิธีการทดสอบกำลังเฉือนในสามแgnจริง .....	31
4.3.1 การเตรียมตัวอย่างหินรายก่อนการทดสอบ .....	32
4.3.2 วิธีติดตั้งตัวอย่างหินรายในโครงกดทดสอบ .....	32
4.3.3 การทดสอบและการตรวจวัดการเคลื่อนตัว .....	33
4.4 วิธีการทดสอบกำลังเฉือนแบบโดยตรง (ผิวขรุขระ) .....	33
4.4.1 การเตรียมตัวอย่างหินรายก่อนการทดสอบ .....	33
4.4.2 วิธีติดตั้งตัวอย่างหินรายในเครื่องทดสอบกำลังเฉือนแบบโดยตรง .....	34
<b>บทที่ 5 การวิเคราะห์ผลการทดสอบ .....</b>	<b>37</b>
5.1 ผลการทดสอบกำลังรับแรงเฉือนในสามแgnจริง .....	37
5.1.1 ผลการทดสอบกำลังรับแรงเฉือนในสามแgnจริงบนรอยแตกผิวขรุขระ (กรณีที่ผันแปรอัตราส่วนของค่าความคื้นช่านกับรอยแตกต่อค่าความคื้นบนรอยแตก .....	37
5.1.2 ผลการทดสอบกำลังรับแรงเฉือนในสามแgnจริงบนรอยแตกผิวขรุขระ (กรณีที่ค่าความคื้นช่านกับรอยแตกมีค่าคงที่) .....	43
5.1.3 ผลการทดสอบกำลังรับแรงเฉือนในสามแgnจริงบนรอยแตกผิวเรียบ (กรณีที่ค่าความคื้นช่านกับรอยแตกมีค่าคงที่) .....	43
5.2 ผลการทดสอบกำลังรับแรงเฉือนแบบโดยตรง .....	43

## สารบัญ (ต่อ)

	หน้า
<b>บทที่ 6 การสร้างความสัมพันธ์ทางคณิตศาสตร์และการวิเคราะห์ผลการทดสอบ</b>	49
6.1 การคำนวณค่ากำลังรับแรงเฉือนและค่าความเค้นตั้งฉาก	49
6.2 การคำนวณจากการทดสอบกำลังรับแรงเฉือนโดยที่ค่าความเค้นขنانกับกับรอยแตกตื้อค่าความเค้นบนรอยแตกคงที่	49
6.3 การคำนวณจากการทดสอบกำลังรับแรงเฉือนโดยที่ค่าความเค้นขنانกับรอยแตกคงที่	53
6.4 การคำนวณจากการทดสอบกำลังรับแรงเฉือนโดยที่ค่าความเค้นขنانกับรอยแตกคงที่ (กรณีที่ผิวรอยแตกเรียบ)	56
6.5 การคำนวณผลจากการทดสอบกำลังรับแรงเฉือนแบบโดยตรง	56
<b>บทที่ 7 สรุปผลงานวิจัย</b>	59
<b>บรรณานุกรม</b>	61
<b>ประวัตินักวิจัย</b>	65

## สารบัญตาราง

ตารางที่	หน้า
3.1 คุณสมบัติทางกายภาพของตัวอย่างหินทรายทั้งสามชนิด สำหรับการทดสอบ กำลังเฉือนของรอยแตกในสามแกนจริง โดยที่ $\sigma_p$ เป็นสัดส่วนกับ $\sigma_o$ (ผิวชุ่มชะ).....	18
3.2 คุณสมบัติทางกายภาพของตัวอย่างหินทรายทั้งสามชนิด สำหรับการทดสอบ กำลังเฉือนของรอยแตกในสามแกนจริง โดยที่ $\sigma_p$ มีค่าคงที่ (ผิวชุ่มชะ).....	22
3.3 คุณสมบัติทางกายภาพของตัวอย่างหินทรายทั้งสามชนิด สำหรับการทดสอบ กำลังเฉือนของรอยแตกในสามแกนจริง โดยที่ $\sigma_p$ มีค่าคงที่ (ผิวเรียบ).....	25
3.4 คุณสมบัติทางกายภาพของตัวอย่างหินทรายทั้งสามชนิด สำหรับการทดสอบ กำลังเฉือนแบบโดยตรง.....	27
5.1 ผลการทดสอบค่ากำลังรับแรงเนื่องในกรณีที่ผันแปรอัตราส่วน ( $\sigma_p/\sigma_o$ ).....	38
5.2 ผลการทดสอบค่ากำลังรับแรงเนื่องบนรอยแตกผิวชุ่มชะกรณีที่ $\sigma_p$ คงที่.....	44

## สารบัญรูปภาพ

รูปที่	หน้า
1.1 สมการที่ใช้ในการคำนวณค่าความเค้นตั้งฉากและความเค้นเฉือน และตัวแปรอื่นๆ ที่เกี่ยวข้องกับการทดสอบ.....	3
2.1 การติดตั้งระบบการให้แรงแบบสามแgnจริงของ Rao and Tiwari (2008).....	12
2.2 โครงกดทดสอบในสามแgnจริงที่ Walsri et al. (2009) ได้ทำการพัฒนา.....	13
3.1 ตัวอย่างหินรายหัก 3 ชนิด ที่ใช้ในการทดสอบ.....	16
3.2 ตัวอย่างหินรายที่ใช้ในการทดสอบและลักษณะการให้แรงดึงแบบแนวเส้น.....	16
3.3 ตัวอย่างของสแกนไลน์จากหินรายบางส่วนที่สามารถประเมินค่า JRC อยู่ระหว่างช่วง 6-8.....	17
3.4 ตัวอย่างหินรายแบบผิวเรียบบางส่วนสำหรับการทดสอบกำลังเฉือนภายใต้ความเค้นข่านกับรอยแตกคงที่.....	25
3.5 ตัวอย่างหินรายหัก 3 ชนิด สำหรับการทดสอบกำลังเฉือนแบบโดยตรงหลังจากมีการให้แรงดึงแบบแนวเส้น.....	27
4.1 โครงกดทดสอบในสามแgnจริง.....	30
4.2 องค์ประกอบของโครงกดทดสอบในสามแgnจริง.....	30
4.3 การทดสอบเทียบอัตราส่วนของแรงเสียดทานด้านข้างที่เกิดจาก $\sigma_p$ โดยใช้ Electronic load cell อัตราส่วนนี้นำไปใช้ในการคำนวณแก้ไขค่าที่มีการเปลี่ยนแปลงรูปร่างของแท่งตัวอย่างหินด้านข้าง.....	31
4.4 การทดสอบเทียบอัตราส่วนของแรงโดยใช้ Electronic load cell อัตราส่วนนี้นำไปใช้ในการคำนวณความเสียดทานระหว่างตัวอย่างหินและเบากดทดสอบ.....	33
4.5 ตัวอย่างหินรายบางส่วนหลังจากหล่อปูนยึดติดกับเบ้าเหล็กของเครื่องทดสอบ กำลังเฉือนแบบโดยตรง.....	34
4.6 การติดตั้งอุปกรณ์การทดสอบกำลังเฉือนแบบโดยตรงด้วยเครื่อง SBEL-DR44.....	35
5.1 ค่ากำลังรับแรงเฉือนสูงสุดในรูปแบบของค่าการเคลื่อนตัวในแนวการเฉือนในบางอัตราส่วน ( $\sigma_p/\sigma_o$ ) สำหรับหินรายหักสามชนิด.....	39
5.2 ค่าการเคลื่อนตัวของรอยแตกในแนวตั้งฉาก ( $d_n$ ) ต่อการเคลื่อนตัวในแนวเฉือน ( $d_s$ ) สำหรับตัวอย่างหินรายบางส่วน.....	40
5.3 ค่าความเค้นหลักในแนวแกนในรูปแบบของค่าความเค้นบนรอยแตกผิวชุ่มระ.....	41

## สารบัญรูปภาพ

รูปที่	หน้า
5.4 ความสัมพันธ์ระหว่างค่ากำลังเรื่อนสูงสุดและค่าความเค้นตั้งฉากบนรอยแตกผิวชุกรูประสำหรับกรณีที่มีการพันแปรอัตราส่วน.....	42
5.5 ความสัมพันธ์ระหว่างค่ากำลังเรื่อนสูงสุดและค่าความเค้นตั้งฉากบนรอยแตกผิวชุกรูประกรณีที่ $\sigma_p$ มีค่าคงที่.....	45
5.6 ผลการทดสอบกำลังรับแรงเรื่อนในสามแกนจริงบนรอยแตกผิวเรียบสำหรับตัวอย่างหินทรายห้องสามชนิด.....	46
5.7 ผลการทดสอบกำลังรับแรงเรื่อนแบบโดยตรง: (a) ค่ากำลังรับแรงเรื่อน ในรูปแบบของค่าการเคลื่อนตัวของรอยแตก (b) ค่าการเคลื่อนตัวของ รอยแตกในรูปแบบของค่าการเคลื่อนตัวในแนวการเฉือน.....	47
5.8 ผลการทดสอบกำลังรับแรงเรื่อนแบบโดยตรงเปรียบเทียบกับการทดสอบกำลังรับแรงเรื่อนในสามแกนจริงกรณีที่ความเค้นข่านกับรอยแตกมีค่าเป็นศูนย์.....	48
6.1 ผลการทดสอบกำลังรับแรงเรื่อนในสามแกนจริงโดยที่อัตราส่วนระหว่างค่าความเค้นที่ข่านกับรอยแตกและค่าความเค้นบนรอยแตกมีค่าคงที่สำหรับหินทรายชุดภูกระดึง.....	51
6.2 ค่ามุมเสียดทานปรากฏ ( $\phi^*$ ) ในรูปแบบของอัตราส่วนค่าความเค้นข่านกับรอยแตกที่หารด้วยค่าความเค้นบนรอยแตก.....	52
6.3 ผลการทดสอบกำลังรับแรงเรื่อนในสามแกนจริงโดยที่ค่าความเค้นที่ข่านกับรอยแตกมีค่าคงที่สำหรับหินทรายชุดภูกระดึง.....	54
6.4 ความสัมพันธ์ระหว่างค่าความเค้นยึดติดปรากฏและค่าความเค้นข่านกับรอยแตกที่มีค่าคงที่.....	55

## บทที่ 1

### บทนำ

#### 1.1 ความสำคัญและที่มาของปัญหาที่ทำการวิจัย

มวลหินที่อยู่ตามธรรมชาติ (ตามโครงสร้างทางธรณีวิทยา) มีความไม่ต่อเนื่อง (Discontinuities) ซึ่งประกอบด้วย รอยแตก รอยแยก ชั้นหิน และรอยเลื่อน เมื่อมีการก่อสร้างอาคาร เขื่อน หรือสิ่งปลูกสร้างต่างๆ โดยเฉพาะอย่างยิ่งโครงสร้างขนาดใหญ่ที่อยู่บนมวลหิน จะทำให้มีความเสียหายต่อการไม่มีเสถียรภาพของโครงสร้างดังกล่าวได้ เช่น เกิดการทรุดตัวของโครงสร้างเนื่องจากการเคลื่อนตัวของมวลหิน โครงสร้างขนาดใหญ่ที่อยู่บนมวลหินจะมีส่วนในการเพิ่มน้ำหนักกดทับหรือแรงขับเคลื่อนของหินบนรอยแตกทำให้เกิดการเคลื่อนตัวได้่ายิ่น ในสภาวะที่ไม่มีโครงสร้างทางวิศวกรรม ก่อสร้างอยู่ในพื้นที่ที่มีรอยแตกหรือรอยเลื่อน มวลหินจะเกิดการเคลื่อนตัวด้วยอัตราที่ซ้ามาก แต่ถ้ามีโครงสร้างทางวิศวกรรมไปเพิ่มแรงขับเคลื่อนก็จะทำให้สมดุลของแรงในธรรมชาติเปลี่ยนแปลงไป ส่งผลให้อัตราการเคลื่อนตัวในรอยแตกของหินเปลี่ยนแปลงไปด้วย กล่าวคือจะทำให้เกิดการเคลื่อนตัวในอัตราที่สูงขึ้นได้

ค่ากำลังเฉือนของรอยแตกในมวลหินเป็นปัจจัยสำคัญต่อเสถียรภาพของโครงสร้างทางวิศวกรรมธนี อาทิ ความลาดชันของมวลหินตามแนวถนน ทางรถไฟ อ่างเก็บน้ำ และฐานรากของเขื่อน และของมวลหินที่อยู่ร่องอุโมงค์ที่ใช้ส่งน้ำในระบบชลประทานและอุโมงค์สำหรับถนนและทางรถไฟ โดยที่ว่าไปการออกแบบโครงสร้างเหล่านี้จะมีการคำนวณค่าความปลอดภัยโดยอาศัยค่ากำลังเฉือนสูงสุดของรอยแตกหรือระบบของรอยแตกในมวลหินเป็นหลัก ค่ากำลังเฉือนนี้สามารถทดสอบได้ในห้องปฏิบัติการด้วยวิธีทดสอบตามมาตรฐานสากล (ASTM D5607) โดยนำตัวอย่างหินที่มีรอยแตกมาให้แรงเฉือนนานกับรอยแตกภายในห้องปฏิบัติการให้เพิ่มขึ้นอย่างต่อเนื่องจนกระทั่งเกิดการเคลื่อนตัวของชิ้นตัวอย่างหินที่อยู่สองข้างของรอยแตกนั้น ค่าแรงเฉือนที่ให้จะเพิ่มขึ้นอย่างต่อเนื่องจนกระทั่งเกิดการเคลื่อนตัวของชิ้นตัวอย่างหินที่อยู่สองข้างของรอยแตกนั้น ค่าแรงเฉือนสูงสุดที่ได้สามารถนำมาคำนวณกำลังเฉือนของรอยแตกนั้นสำหรับหินชนิด ซึ่งแรงที่ให้จะถูกเรียกว่า แรงแบบสติติ

ในอดีตที่ผ่านมาได้มีผู้ศึกษาเกี่ยวกับอัตราความเค้นเฉือนในห้องปฏิบัติการ แต่การทดสอบแรงเฉือนเป็นการทดสอบโดยการให้แรงเฉือนคงที่ที่อัตราเดียว โดยที่การให้แรงเฉือนในห้องปฏิบัติการจะมีอัตราให้แรงที่สูงมากกว่าความเป็นจริงในภาคสนาม ส่งผลให้การคำนวณค่ากำลังเฉือนของรอยแตกสูงกว่าความเป็นจริงมากและไม่สอดคล้องกับสภาวะในภาคสนาม ทั้งนี้วิศวกรต้องพึงทราบถึงผลกระทบของค่าความเค้นเฉือนในสามแgn เพื่อให้การออกแบบโครงสร้างทางวิศวกรรมบนมวลหินมีความมั่นคงและมีเสถียรภาพในระยะยาว ดังนั้นจึงต้องนำค่าการทดสอบกำลังเฉือนในสภาวะที่สอดคล้องกับในภาคสนามมาใช้ในการออกแบบ แต่การศึกษาคำนวณของรอยแตกในมวลหินที่มีการพิจารณาถึงกำลังเฉือนของรอยแตกในสามแgnจริง ยังไม่มีการศึกษาอย่างจริงจังและเป็นรูปธรรมเพียง

พอที่จะสามารถนำผลไปใช้ในออกแบบในสภาวะจริงตามธรรมชาติได้ งานวิจัยนี้จึงมีจุดมุ่งหมายที่จะพัฒนาองค์ความรู้นี้ให้สามารถนำไปใช้ได้อย่างเป็นรูปธรรม

## 1.2 วัตถุประสงค์ของโครงการวิจัย

- 1) เพื่อทำการตรวจสอบหากลังต้านทานแรงเฉือนของรอยแตกในตัวอย่างหินทรายภายใต้การให้แรงในสามแgnจริง โดยการทดสอบกลังรับแรงเฉือนในสามแgnจริงที่มีการสร้างรอยแตกจากวิธีการให้แรงดึงแบบแนวเส้น และแบบผิวนูนได้ดำเนินการโดยใช้โครงกดทดสอบในสามแgnจริง (Fuenkajorn & Kenkhunthod, 2010)
- 2) สร้างสมการความสัมพันธ์เชิงคณิตศาสตร์ระหว่างค่าความเฉือนสูงสุดและค่าความเค้นตั้งฉากโดยมีความเค้นหลักในสามทิศทางที่ไม่เท่ากัน (Anisotropic stress state)

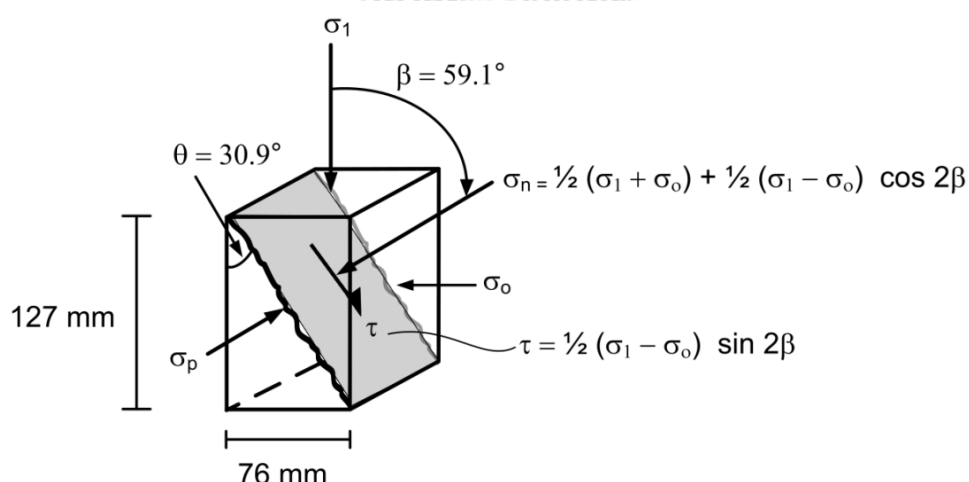
## 1.3 ขอบเขตของโครงการวิจัย

- 1) การทดสอบคุณสมบัติเชิงกลศาสตร์ในห้องปฏิบัติการได้ใช้หินทราย 3 ชนิด ได้แก่ หินทรายพระวิหาร หินทรายภูพาน และหินทรายภูกระดึง
- 2) การทดสอบประกอบด้วยการทดสอบกลังเฉือนของรอยแตกในสามแgnจริง ภายใต้ค่าความเค้นรอบข้างที่มีค่าคงที่ ซึ่งประกอบด้วยค่าความเค้นขนาดกับรอยแตก ( $\sigma_p$ ) และค่าความเค้นบนรอยแตก ( $\sigma_o$ )
- 3) การทดสอบกลังรับแรงเฉือนของรอยแตกในสามแgnจริงแบ่งออกเป็น 2 ชุดการทดสอบ ได้แก่ ค่าความเค้นตั้งฉากของรอยแตกเป็นสัดส่วนกับค่าความเค้นขนาดกับรอยแตก ( $\sigma_p/\sigma_o$ ) และค่าความเค้นขนาดกับรอยแตก ( $\sigma_p$ ) มีค่าคงที่
- 4) ใช้ตัวอย่างหินทรายในการทดสอบกลังเฉือนของรอยแตกมากกว่า 30 ตัวอย่างต่อ 1 ชนิด
- 5) รอยแตกของตัวอย่างหินทรายที่ใช้ในการทดสอบได้ถูกสร้างขึ้นภายในห้องปฏิบัติการ โดยการให้แรงดึงแบบแนวเส้น (Tension induced fracture)
- 6) การทดสอบกลังเฉือนของรอยแตกโดยตรง (Direct shear test) แต่ละระดับได้ทำการผันแปรความเค้นกดในแนวตั้งจากกับรอยแตกอย่างน้อย 4 ค่า เพื่อให้การสร้างเกณฑ์การแตกเป็นไปอย่างแม่นยำ
- 7) การทดสอบทุกประเภทได้ดำเนินการภายใต้สภาวะแห้งและอุณหภูมิห้อง
- 8) งานวิจัยนี้ไม่มีการออกสำรวจในภาคสนาม

## 1.4 ทฤษฎี สมมติฐาน และกรอบแนวความคิดของโครงการวิจัย

การศึกษากำลังเฉือนของรอยแตกในหินทรายในสามแกนจริงมีความสำคัญต่อเสถียรภาพของมวลหินที่มีรอยแตกและเป็นปัจจัยสำคัญที่ใช้ในการออกแบบฐานรากและโครงสร้างในชุดหินโครงที่อยู่ในภาคตะวันออกเฉียงเหนือของประเทศไทย การทดสอบกำลังเฉือนของรอยแตกในหินทรายในสามแกนจริงเพื่อหาผลกระแทบที่ว่าค่ากำลังรับแรงเฉือนสูงสุดและค่าความเค้นตั้งฉากของหินทราย 3 ชนิด โดยพิจารณาการให้ความเค้นในสามแกน และมีการสร้างสมการความสัมพันธ์เชิงคณิตศาสตร์ระหว่างความเค้นเฉือนสูงสุดและค่าความเค้นตั้งฉาก โดยตัวอย่างหินทรายชุดโครงได้ถูกนำมาทดสอบ กำลังเฉือนของรอยแตกในสามแกนจริงด้วยโครงกดทดสอบในสามแกนจริงภายใต้ห้องปฏิบัติการ ซึ่งการทดสอบประกอบด้วยการทดสอบกำลังเฉือนของรอยแตกในสามแกนจริง (True triaxial test) ภายใต้ค่าความเค้นรอบข้างที่มีค่าคงที่ ซึ่งประกอบด้วยค่าความเค้นขานกับรอยแตก ( $\sigma_p$ ) และค่าความเค้นบนรอยแตก ( $\sigma_o$ ) และแสดงในรูปที่ 1.1

แนวคิดในงานวิจัยนี้คือการใช้ตัวอย่างหินทรายที่เป็นรูปสี่เหลี่ยมขนาด  $76 \times 76 \times 127 \text{ mm}^3$  เพื่อให้สามารถนำไปประยุกต์ใช้กับโครงกดทดสอบในสามแกนจริงที่มีอยู่ในห้องปฏิบัติการ ซึ่งโครงกดทดสอบในสามแกนจริงสามารถให้ความเค้นที่ขานกับรอยแตก ( $\sigma_p$ ) และค่าความเค้นบนรอยแตก ( $\sigma_o$ ) ได้อย่างคงที่ โดยรอยแตกของตัวอย่างหินทรายที่ใช้ในการทดสอบจะถูกสร้างขึ้นภายในห้องปฏิบัติการ ด้วยการให้แรงกดแบบแนวเส้น โดยมุ่งของรอยแตกบนตัวอย่างหินจะได้มาจากการคำนวณด้วยสมการเชิงคณิตศาสตร์ตามเกณฑ์ของ Coulomb ที่จะพัฒนาขึ้นในรูปของค่าความเค้นยึดติด ( $C$ ) และมุมเสียดทาน ( $\phi$ ) ซึ่งรวมผลกระแทบที่ความเค้นล้อมรอบ โดยจะทำให้เกณฑ์การเฉือนใหม่ที่ได้นั้นสามารถนำมาประยุกต์ใช้ในการคำนวณเสถียรภาพของมวลหินได้ใกล้เคียงกับสภาพความเป็นจริงในภาคสนามมากยิ่งขึ้น



รูปที่ 1.1 สมการที่ใช้ในการคำนวณค่าความเค้นตั้งฉากและความเค้นเฉือน และตัวแปรอื่นๆ ที่เกี่ยวข้องกับการทดสอบ

## 1.5 วิธีดำเนินการวิจัย

การวิจัยแบ่งออกเป็น 7 ขั้นตอน รายละเอียดของแต่ละขั้นตอนมีดังต่อไปนี้

### ขั้นตอนที่ 1 การค้นคว้าและศึกษางานวิจัยที่เกี่ยวข้อง

งานวิจัยนี้ได้แบ่งการค้นคว้าและศึกษาไว้ 4 ประดิษฐ์ 1) การพัฒนาและสร้างทฤษฎีความสัมพันธ์จากการทดสอบ 2) ปัจจัยต่างๆ ที่ส่งผลกระทบต่อค่ากำลังรับแรงเฉือน 3) การศึกษางานวิจัยที่มีการทดลองในลักษณะการให้แรงในรูปแบบสามแgnจริง และ 4) การพัฒนาเครื่องมือทดสอบ

### ขั้นตอนที่ 2 การเก็บและเตรียมตัวอย่างทินทราย

ในขั้นตอนนี้ได้ดำเนินการสร้างรอยแตกของตัวอย่างทินทราย 3 ชนิด ได้แก่ ทินทรายพระวิหาร ทินทรายภูพาน และทินทรายภูกระดึงเพื่อใช้ในการทดสอบ โดยมีการสร้างรอยแตกขึ้นภายในห้องปฏิบัติการด้วยการให้แรงดึงแบบแนวเส้นเพื่อใช้ในการทดสอบ 2 กลุ่ม ดังนี้

- 1) การทดสอบกำลังเฉือนของรอยแตกในสามแgnจริงด้วยตัวอย่างทินทราย 3 ชนิด ที่ถูกจัดเตรียมเป็นรูปทรงสี่เหลี่ยมขนาด  $76 \times 76 \times 127 \text{ mm}^3$  โดยตัวอย่างทินทรายแต่ชนิดได้ถูกทดสอบไม่น้อยกว่า 30 ก้อน
- 2) การทดสอบกำลังรับแรงเฉือนด้วยตัวอย่างทินทรายรูปสี่เหลี่ยมขนาด  $100 \times 100 \times 150 \text{ mm}^3$  โดยมีการให้แรงกดตั้งจากกับรอยแตก 4 ระดับ

### ขั้นตอนที่ 3 การทดสอบกำลังเฉือนของรอยแตกในสามแgnจริง

ในขั้นตอนนี้ได้ดำเนินการทดสอบหาค่ากำลังเฉือนของรอยแตกในสามแgnจริงด้วยโครงกดทดสอบในสามแgnจริง (Polyaxial load frame) โดยแบ่งออกเป็น 2 ชุดการทดสอบ คือ 1) ผันแปรอัตราส่วนระหว่างค่าความเค้นข่านกับรอยแตกและค่าความเค้นบนรอยแตก ( $\sigma_p/\sigma_o = 0, 0.5, 1, 2, 3$  และ  $4$ ) และ 2) กำหนดให้ค่าความเค้นข่านรอยแตก ( $\sigma_p$ ) มีค่าคงที่

### ขั้นตอนที่ 4 การทดสอบกำลังรับแรงเฉือนโดยตรง

การทดสอบกำลังรับแรงเฉือนโดยตรงได้ทำการทดสอบโดยใช้เครื่องทดสอบกำลังรับแรงเฉือนโดยตรง (Model DR-44 Direct Shear Machine) ตามมาตรฐาน ASTM D5607 และได้ทำการหาค่าคุณสมบัติของทินทรายทั้ง 3 ชนิด เช่น ค่าความเค้นยึดติด และค่ามูนเดียดทาน เป็นต้น

### **ขั้นตอนที่ 5 การเปรียบผลการทดสอบในห้องปฏิบัติการ**

ขั้นตอนนี้ได้นำผลการทดสอบมาหาค่ากำลังเฉือนของรอยแตกในสามเกณฑ์ริงและการทดสอบกำลังรับแรงเฉือนโดยตรงมาทำการวิเคราะห์และเปรียบเทียบผลการทดสอบในห้องปฏิบัติการเพื่อนำไปพัฒนาความสัมพันธ์เชิงคณิตศาสตร์

### **ขั้นตอนที่ 6 การพัฒนาความสัมพันธ์เชิงคณิตศาสตร์**

ผลจากการทดสอบในห้องปฏิบัติการได้นำมาสร้างความสัมพันธ์ทางคณิตศาสตร์ 3 แบบคือ

- 1) จากชุดการทดสอบแรกที่ได้กำหนดอัตราส่วนระหว่างความเค้นข้านกับรอยแตก ( $\sigma_p$ ) และความเค้นบนรอยแตก ( $\sigma_u$ ) ให้มีค่า 0, 0.5, 1, 2, 3 และ 4 MPa สามารถใช้สมการเชิงคณิตศาสตร์สร้างความสัมพันธ์ระหว่างค่ามุมเสียดทาน ( $\phi$ ) กับการผันแปรอัตราส่วนระหว่างความเค้นข้านกับรอยแตกและความเค้นบนรอยแตก
- 2) จากการทดสอบชุดที่สองได้มีการกำหนดให้ความเค้นข้านกับรอยแตก ( $\sigma_p$ ) มีค่าคงที่ที่ 1, 2 และ 3 MPa สามารถใช้สมการเชิงคณิตศาสตร์สร้างความสัมพันธ์ระหว่างความเค้นยึดติด ( $c$ ) กับความเค้นข้านกับรอยแตก
- 3) ใช้สมการเชิงคณิตศาสตร์ตามเกณฑ์ของ Coulomb ซึ่งนิยมใช้กันอย่างแพร่หลาย โดยจะนำเสนอด้วยรูปแบบของค่าความเค้นเฉือนของหินทราย 3 ชนิด โดยอยู่ในรูปแบบของค่าความเค้นยึดติด ( $c$ ) และค่ามุมเสียดทาน ( $\phi$ ) ที่ได้จากการทดสอบ

### **ขั้นตอนที่ 7 การสรุปผลและเขียนรายงาน**

แนวคิด ขั้นตอนโดยละเอียด การวิเคราะห์ผลที่ได้จากการศึกษาทั้งหมด และข้อสรุปได้นำเสนอโดยละเอียดในรายงานการวิจัยฉบับสมบูรณ์ เพื่อที่จะส่งมอบเมื่อเสร็จโครงการ และตีพิมพ์ในวารสารระดับนานาชาติ

## **1.6 ประโยชน์ที่คาดว่าจะได้รับ**

ผลงานวิจัยที่เสนอมานี้มีประโยชน์อย่างมากกับงานด้านธรณีวิทยา วิศวกรรมสิ่งแวดล้อม และวิศวกรรมธรณี ซึ่งสามารถสรุปเป็นหัวข้อได้ดังต่อไปนี้

- 1) ตีพิมพ์ผลงานวิจัยในวารสารระดับนานาชาติ
- 2) เผยแพร่องค์ความรู้ให้กับหน่วยงานที่เกี่ยวข้องทั้งภาครัฐและเอกชน
- 3) สร้างนักวิจัยระดับ Postgraduate อย่างน้อย 1 คน

### 1.7 หน่วยงานที่นำผลการวิจัยไปใช้ประโยชน์

ผลการวิจัยที่เสนอมาในนี้จะมีประโยชน์อย่างมากและโดยตรงกับหลายหน่วยงานทั้งภาครัฐ และเอกชน สถาบันการศึกษาที่เปิดสอนทางด้านวิศวกรรมเหมือนแร่ และวิศวกรรมธรณี รวมไปถึง หน่วยงานที่ทำงานเกี่ยวข้องกับการก่อสร้างในชั้นทิน เช่น การสร้างเขื่อน การสร้างอุโมงค์ เหมืองแร่รับ ดินและใต้ดิน หน่วยงานเหล่านี้ได้แก่

- 1) กรมทรัพยากรน้ำ
- 2) กองธรณ์เทคนิค กรมทรัพยากรธรณี กระทรวงทรัพยากรธรรมชาติและสิ่งแวดล้อม
- 3) สำนักสำรวจด้านวิศวกรรมและธรณีวิทยา กรมชลประทาน กระทรวงเกษตรและ สหกรณ์
- 4) กองธรณ์เทคนิค กรมพัฒนาพลังงานทดแทนและอนุรักษ์พลังงาน กระทรวงพลังงาน
- 5) สถาบันการศึกษาที่เปิดสอนทางด้านวิศวกรรมเหมือนแร่ และวิศวกรรมธรณี
- 6) บริษัทเอกชนที่ออกแบบและก่อสร้างอุโมงค์ และความลาดชันในมวลทิน
- 7) กระทรวงพลังงาน
- 8) บริษัทสำรวจและขุดเจาะน้ำมันในประเทศไทย
- 9) องค์การบริหารส่วนตำบล และองค์การบริหารส่วนจังหวัด

## บทที่ 2

### การทดสอบวรรณกรรมวิจัยที่เกี่ยวข้อง

การค้นคว้าและศึกษาวรรณสาร รายงาน และสิ่งพิมพ์ที่เกี่ยวข้องกับงานวิจัยนี้ได้แบ่งออกเป็น 4 ประเด็นหลัก

#### 2.1 การพัฒนาและสร้างทฤษฎีความสัมพันธ์จากการทดสอบ

Barton and Choubey (1977) ได้เสนอความสัมพันธ์ของค่าสัมประสิทธิ์ความขรุขระ (Joint Roughness Coefficient: JRC) โดยแทนด้วยตัวเลขตั้งแต่ 1-20 ซึ่งสามารถประเมินได้จากการขรุขระของรอยแตกในหิน Barton and Bandis (1990) ได้พิจารณาถึงผลกระทบของขนาดที่มีต่อค่า JRC และได้ทำการเสนอค่า JRC สำหรับความไม่ต่อเนื่องขนาดใหญ่ คณะกรรมการกลศาสตร์หินแห่งนานาชาติ (International Society for Rock Mechanic, ISRM) จึงได้ตั้งให้เป็นมาตรฐานในการประเมินค่าความขรุขระบนผนังของความไม่ต่อเนื่อง

Kusumi et al. (1997) ได้ทำการศึกษาสมการใหม่ของค่ากำลังรับแรงเนื่องสำหรับรอยแตกหินที่มีความไม่สม่ำเสมอ โดยกล่าวไว้ว่าเกณฑ์กำลังรับแรงเนื่องของ Ladanyi (1970) จะถูกนำไปใช้เฉพาะกับรอยแตกแบบสามเหลี่ยมทั่วไป วัตถุประสงค์ของการศึกษานี้ก็เพื่อที่จะเสนอกำลังรับแรงเนื่องใหม่ซึ่งจะประยุกต์ใช้กับรอยแตกที่ไม่สม่ำเสมอ โดยวิธีการประเมินค่าที่เหมาะสมของโปรไฟล์รอยแตกที่ไม่สม่ำเสมอต้องเป็นการประเมินเชิงบริมาณ มีการเตรียมตัวอย่างด้วยการหล่อปูนปลาสเตอร์ ซึ่งมี 4 JRC โปรไฟล์ที่แตกต่างกัน รวมถึงได้ใช้ตัวอย่างหินทรายที่ประกอบด้วยรอยแตกที่ไม่สม่ำเสมอ เพื่อนำไปทดสอบกำลังรับแรงเนื่องแบบโดยตรง นอกจากนั้นก่อนการทดสอบกำลังรับแรงเนื่องแบบโดยตรงเพื่อที่จะทำการประเมินโปรไฟล์พื้นผิวความไม่ต่อเนื่องของรอยแตกของตัวอย่าง ยังได้ทำการตรวจด้วยวิเคราะห์โปรไฟล์ของความไม่ต่อเนื่องของรอยแตกแต่ละตัวอย่างด้วยการใช้โปรแกรมเตอร์ผลลัพธ์ที่ได้ผลว่าสมการที่ได้จากการทดสอบใหม่นี้สามารถใช้เป็นตัวแทนที่ดีของค่าตัวแปรกำลังรับแรงเนื่องที่รวมอยู่ในเกณฑ์กำลังรับแรงเนื่องของ Ladanyi ที่ได้เสนอไว้ และจะได้รับการยอมรับว่าสมการที่ได้จากการทดสอบใหม่นี้สามารถประยุกต์ใช้สำหรับตัวอย่างหินที่มีรอยแตกไม่สม่ำเสมอได้

Zhao (1997) ได้ศึกษาการแบบกันของพื้นผิวรอยแตกและกำลังรับแรงเนื่องด้วยเกณฑ์กำลังรับแรงเนื่อง JRC-JMC กล่าวว่า เมื่อเกณฑ์กำลังรับแรงเนื่อง JRC-JCS ของ Barton (1977) ถูกใช้สำหรับการตีความและการคาดการณ์ของกำลังรับแรงเนื่องของรอยแตกตามธรรมชาติ ซึ่งพบว่า แบบจำลอง JRC-JCS มีแนวโน้มที่จะคาดการณ์สูงกว่าความเป็นจริงสำหรับรอยแตกตามธรรมชาติกับพื้นผิวที่ไม่แบบกัน เพื่ออาจน้ำข้อเสียเบรี่ยบนี้ เกณฑ์กำลังรับแรงเนื่อง JRC-JMC ใหม่ที่เสนอันจะรวมผลกระทบของความขรุขระของพื้นผิวรอยแตกและการแบบกันของรอยแตกในรูปแบบของ  $\tau = \sigma_k \cdot \tan$

$[JRC \cdot JMC \cdot \log_{10}(JCS/\sigma_0) + \phi]$  โดยที่ JMC ควรกำหนดที่ 0.3 สำหรับ JMC ที่ได้ทำการตรวจวัดแล้ว มีค่าน้อยกว่า 0.3 ซึ่งมันเป็นการปรับเปลี่ยนเกณฑ์ของ JRC-JCS ที่มีอยู่แล้ว แบบจำลอง JRC-JMC ใหม่นี้จะให้การพิจารณาผลการทดสอบกำลังรับแรงเฉือนกับการผันแปรอย่างมากเมื่อพื้นผิวมีมุ่มที่แตกต่างกันได้อย่างเหมาะสมทั้งด้านความชรุและ การแนะนำแบบกัน นอกจากนี้ยังช่วยให้การประมวลผลและการคาดการณ์แม่นยำมากขึ้น โดยเฉพาะอย่างยิ่งสำหรับอย่างในธรรมชาติที่ไม่มีพื้นผิวแนะนำแบบกันอย่างสมบรณ์

Grasselli and Egger (2003) ได้เสนอ Constitutive criterion ใหม่ที่มีความสัมพันธ์กับความเค้นและการเคลื่อนตัว โดยแบบจำลองที่เสนอเป็นความต้านทานแรงเฉือนของรอยแตกที่อยู่ภายใต้เงื่อนไขค่าความเค้นตั้งจากคงที่ และอยู่บนพื้นฐานของทฤษฎีหรือคำอธิบายจากการทดลองของพื้นผิวจากการทดสอบกำลังรับแรงเฉือนโดยตรงที่มีการผันแปรค่าความเค้นตั้งจากมากกว่า 50 ค่า ซึ่งได้จากการสร้างแบบจำลองของรอยแยกแบบดึงและการทำให้เกิดรอยแตกจำลองบนตัวอย่างหินที่ใช้ทดลองทั้ง 7 ชนิด แบบจำลองประกอบ (Constitutive model) สามารถใช้เพื่ออธิบายการทดสอบกำลังรับแรงเฉือนในห้องปฏิบัติการ และตัวแปรต่างๆ ที่จำเป็นสำหรับการสร้างแบบจำลองนี้สามารถทำ การตรวจวัดได้โดยง่ายจากการทดสอบตามมาตรฐานในห้องปฏิบัติการ เกณฑ์ที่เสนอจะถูกใช้เพื่อประเมินค่า JRC ค่าจากการคาดการณ์ที่เป็นผลสำเร็จจะมีความสัมพันธ์กับค่า JRC ที่ได้จากการวิเคราะห์ย้อนกลับของการทดสอบกำลังรับแรงเฉือน

## 2.2 ปัจจัยต่างๆ ที่ส่งผลกระทบต่อค่ากำลังรับแรงเฉือน

Fuenkajorn and Kemthong (2007) ได้ทำการศึกษาความน่าเชื่อถือของวิธีการที่ใช้ในภาคสนามสำหรับกำหนดค่ามุ่มเสียดทานพื้นฐาน (b) ค่ากำลังกดในแกนเดียว (UCS หรือความแข็งของผนังรอยแตก) และค่า JRC ที่ต่างกันในตัวอย่างหินที่ตัดให้มีผิวเรียบกว่า กำลังรับแรงเฉือนที่คำนวณได้จากกฎของ Barton จะอ่อนไหวต่อค่า b มากกว่าค่า UCS ค่า JRC สามารถคาดคะเนค่ากำลังรับแรงเฉือนของรอยแตกผิวชรุระดับดีสำหรับหินอ่อนและหินทราย แต่ไม่สามารถอธิบายกำลังเฉือนของรอยแตกในตัวอย่างหินแกรนิตได้ ซึ่งอาจเกิดจากผิวตัดเรียบของหินที่มีขนาดผลึกแร่ใหญ่และมีความแข็งมาก

Fuenkajorn et al. (2011) ได้ทำการทดสอบเพื่อหาค่า Hydraulic conductivity ของตัวอย่างหินโดยแตกภายในตัวอย่างหินโดยให้ความเค้นตั้งจากและความเค้นเฉือน หินที่ใช้ในการทดสอบนี้ 4 ชนิด ได้แก่ หินปูนชุดสระบุรี หินแกรนิตตาก หินแกรนิตเวียดนาม และหินแกรนิตจีน ผลการทดสอบได้แสดงให้เห็นว่าค่าการเปิดเผยทางกายภาพ (Physical apertures,  $e_p$ ) และค่า Hydraulic aperture เพิ่มขึ้นตามค่าการเคลื่อนตัวของความเค้นเฉือนภายในตัวอย่างหินที่มีค่าสูง ซึ่งค่าความชื้นผ่านของรอยแตกภายในตัวอย่างหินไม่มีความเค้นเฉือนและสภาพความเค้นเฉือนสูงสุดมีค่าที่เท่ากัน ค่า Hydraulic conductivities ได้มีค่าลดลงแบบ Exponential ในขณะที่ความเค้นตั้งจากมีค่าเพิ่มสูงขึ้น

Babanouri (2011) ได้ศึกษาผลกระทบของการอัดตัวคายน้ำที่สูงเกินไป (over-consolidation) กับพฤติกรรมกำลังรับแรงเฉือนของรอยแตกหิน ได้กล่าวว่าผู้วิจัยหลายท่าน (Ohnishi and Dharmaratne, 1990; Indraratna and Haque, 2000) โดยมากได้ทำการศึกษาพฤติกรรมของความเค้นตึงฉากและความเค้นเฉือนของรอยแตก ซึ่งโดยมากไม่ได้พิจารณาผลกระทบของพฤติกรรมการอัดตัวคายน้ำที่สูงเกินไป ของความไม่ต่อเนื่องหรือรอยแตก พฤติกรรมการอัดตัวคายน้ำที่สูงเกินไปของรอยแตกของหินที่มีความชรุขระควรจะพิจารณาเมื่อ เกิดการตกหักบด การอัดตัวคายน้ำ การผุกร่อน (หรือการชุดเจาะ) ตามลำดับ โดย Plaster replicas จะเป็นตัวแทนของพื้นผิวรอยแตกของหินในธรรมชาติเพื่อใช้สำหรับการศึกษา ในกรณีพื้นผิวชรุขระและคุณสมบัติทางรูปทรงจะรักษาให้คงที่ในระหว่างการทดสอบกำลังรับแรงเฉือนโดยตรงในห้องปฏิบัติการ ซึ่งสังเกตเห็นว่าค่ากำลังรับแรงเฉือนส่วนมากของความชรุขระ ความแข็งของผนังรอยแตก และค่าความเค้นตึงฉากมีนัยสำคัญอย่างมากกับการเพิ่มอัตราส่วนของการอัดตัวคายน้ำที่สูงเกินไป จากผลการทดสอบ แบบจำลองใหม่ได้พัฒนาและเพิ่มเติมจากเกณฑ์การวิบัติกำลังรับแรงเฉือนของรอยแตกในมวลหินของ Barton แบบจำลองนี้ได้พิจารณาผลกระทบของการให้ความเค้นตึงฉาก/หยุดให้ความเค้นตึงฉาก ก่อนการให้ความเค้นเฉือนและอัตราส่วนการอัดตัวคายน้ำที่สูงเกินไป (Over-consolidation ratio) บนรอยแตก ซึ่งการปิดตัวอย่างสูงของรอยแตก (Joint Over-Closure : JOC) ที่เกิดขึ้นใหม่จะเป็นตัวแปรที่นำไปสู่การได้อัตราส่วนของเฉือนจากการปิดตัวในการปิดตัว-อย่างสูงของรอยแตก (Over-closed) ถึงการปิดตัวปกติของรอยแตก (Normal closed)

### 2.3 การศึกษางานวิจัยที่มีการทดลองในลักษณะการให้แรงในรูปแบบสามแgnจริง

Song and Haimson (1997) ได้จำลองหลุมเจาะในตัวอย่างหินทรายและหินแกรนิตเพื่อศึกษาพฤติกรรมและความสัมพันธ์ของการแตกของหินในหลุมเจาะ (Borehole breakout) และความเค้นด้วยเครื่องกดทดสอบแรงกดในสามแgnจริง โดยใช้การสันนิษฐานที่ว่าสภาวะความเค้นที่ขอบเขตรอยแตกของผนังหลุมเจาะมีค่าความแข็งที่เท่ากัน ซึ่งกฎเกณฑ์ของ Mohr-Coulomb ไม่สามารถนำมาใช้ในการพิจารณาการแตกของหลุมเจาะได้ ซึ่งกฎเกณฑ์ของแรงกดในสามแgnจริงใช้ได้ดีกว่า เนื่องจากผลของ  $\sigma_2$  มีความเหมาะสมต่อขอบเขตของการแตก เช่น กฎเกณฑ์ของ Nadai ใช้สำหรับหินทราย และกฎเกณฑ์ของ Mogi ใช้สำหรับหินแกรนิต

$$\tau_{oct} = f_1 (\sigma_{oct}) \quad (2.1)$$

เมื่อ  $\tau_{oct} = 1/3[(\sigma_1 - \sigma_3)2 + (\sigma_2 - \sigma_3)2 + (\sigma_3 - \sigma_1)2]1/2$

และ  $\sigma_{oct} = 1/3(\sigma_1 + \sigma_2 + \sigma_3)$

โดยที่  $f_1$  คือ ผลที่ได้จากการทดสอบ

$$\tau_{\text{oct}} = f_2 (\sigma_2^m) \quad (2.2)$$

เมื่อ  $\sigma_{\text{oct}} = (\sigma_1 + \sigma_3)/2$

โดยที่  $f_2$  คือ พิ่งก์ชันที่เพิ่มขึ้นทางคณิตศาสตร์ขึ้นกับชนิดหิน การวิเคราะห์แผ่นหินบาง (thin section) มีบทบาทสำคัญต่อการทดสอบทางกลศาสตร์ของการแตก และค่าความแข็งขึ้นกับชนิดของหิน

Singh et al. (1998) ได้ทำการศึกษาผลกระทบของความเค้นหลักกลางกับค่าความแข็งของมวลหินที่ไม่เท่ากันทุกทิศทางกล่าวว่า เกณฑ์ของ Mohr–Coulomb มีความจำเป็นจะต้องพัฒนาสำหรับวัสดุหินที่มีความแปรปรวนหรือไม่เท่ากันทุกทิศทางสูงและเป็นรอยแตกในมวลหิน เมื่อเพิ่ม  $\sigma_2$  เข้าไป เกณฑ์การแตกใหม่ซึ่งแนะนำว่า  $\sigma_2$  และ  $\sigma_3$  จะส่งผลกับความเค้นตั้งฉากบนระนาบที่มีอยู่เดิมของระนาบที่มีความแข็งแรงต่ำ เกณฑ์นี้จะอธิบายถึงการปรับปรุงความแข็ง ( $\sigma_2 - \sigma_3$ ) ในอุโมงค์หรือเหมือนใต้ดิน เนื่องจาก  $\sigma_2$  ตลอดแนวของอุโมงค์มีความสำคัญอย่างมาก เหตุผลอีกประการหนึ่งคือเพื่อช่วยปรับปรุงค่าความแข็งด้วยการ Mass modulus ในอุโมงค์เพื่อที่จะจำกัด Dilatancy ความสัมพันธ์จากการทดลองที่ได้จากข้อมูลของการทดสอบกำลังรับแรงเฉือนแบบล็อก และการทดสอบกำลังกดในแกนเดียวแบบแจ็คเก็ต (Uniaxial jacket tests) ได้รับการแนะนำให้ใช้เพื่อประเมินตัวแปรของค่าความแข็ง โดยมีความสัมพันธ์กับกำลังรับแรงดึงของมวลหินที่ได้เสนอไว้ทฤษฎีของ Hoek และ Brown ใช้เพื่ออธิบายแนวคิดของ  $\sigma_2$  เป็นเพียงข้อเสนอสำหรับเกณฑ์การแตกทั่วไปเพื่อสนับสนุนการทำเหมืองใต้ดินและบนผิวดิน

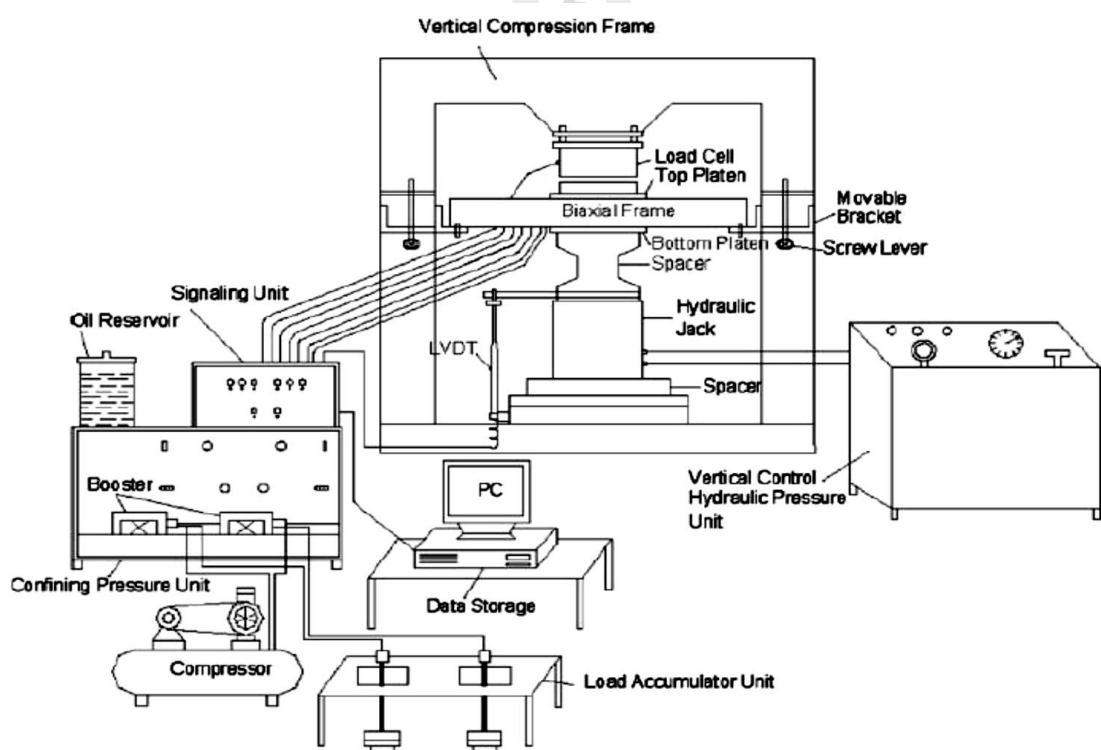
Alexeev et al. (2008) ได้ศึกษาผลกระทบปัจจัยของสภาพความเครียดบนรอยแตกของหินรายภัยใต้การให้แรงในสามแกนจริง ผลจากการทดลองการเสียรูปร่างของหินและรอยแตกภายใต้การกดในสามแกนจริงแสดงให้เห็นถึงความไม่เหมาะสมระหว่างสภาพความเค้นและความเครียด โดยที่สภาพความเค้นผันแปรจากแรงกดโดยทั่วไปถึงแรงเฉือนทั่วไปที่  $\sigma_3 \neq 0$  รอยแตกของตัวอย่างหินภายใต้การกดในสามแกนจริงเกิดขึ้นจากแรงเฉือนตามยาว/ตามขวาง และทำให้เกิด Dilatancy สูงมาก เมื่อเพิ่มระดับความดัน Hydrostatic ค่าความเค้นเฉือนนั้นจะลดลงและจะบัญช์ผลกระทบของ Dilatancy ค่า Dilatancy สูงสุดจะสอดคล้องกับค่าสูงสุดของพื้นที่ผิวที่สดใหม่ที่เกิดขึ้นจากการแตกหักของหินโดยทั่วไปรอยแตกของหินจะเกิดจากข้อเสียเบรี่ยบอย่างชัดเจนในการกดแบบสามแกนจริงในภาคสนามหินรายบางส่วนที่ประมาณๆ กายใต้การกดแบบสามแกนจริง ( $\sigma_2 \neq 0$ ) ที่ค่าต่ำของส่วนประกอบความเครียดน้อยที่สุด ( $\sigma_2$ ) เนื่องจากความพรุนเริ่มต้น Dilatancy สูง

Fuenkajorn and Kenkhunthod (2010) ได้ทำการทดสอบ UCS และ Triaxial โดยใช้โครงกดหดลายแกนเพื่อประเมินผลผลกระทบของอัตราการให้แรงต่อความแข็งและการเปลี่ยนแปลงรูปร่างของหินทรายสามชนิด การเปลี่ยนแปลงความเค้นภายในแนวแกนถูกควบคุมด้วยอัตราคงที่ที่ 0.001, 0.01, 0.1, 1.0 และ 10 MPa/s โดยรักษาความดันล้อมรอบคงที่ที่ 0, 3, 7 และ 12 MPa ความแข็งและความยืดหยุ่นของหินทรายเพิ่มขึ้นเป็นทวีคูณกับอัตราการให้แรง โดยอัตราการให้แรงขึ้นอยู่กับสมการการคำนวณการเปลี่ยนแปลงรูปร่างและแรงเฉือน ซึ่งเป็นพื้นฐานต่อข้อสมมติฐานของพลังงานความเครียดเบี่ยงเบนคงที่ของหินที่แตกภายใต้ความเค้นตั้งจาก จึงเป็นเหตุเป็นผลให้ได้สมการที่ขึ้นกับอัตราการให้แรงของการเปลี่ยนแปลงรูปร่างและแรงเฉือน ส่งผลให้เหมือนกับสมการ brittle isotropic intact rock

## 2.4 การพัฒนาเครื่องมือการทดสอบ

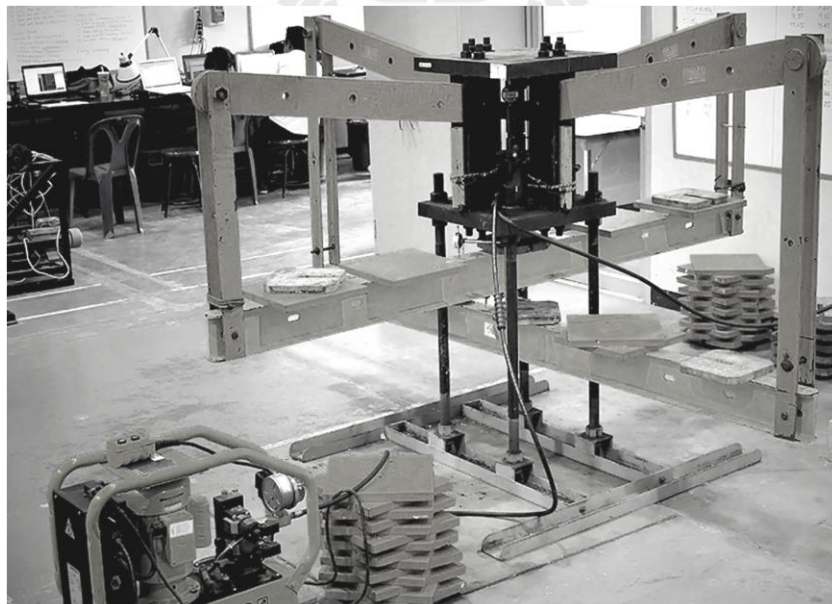
Tiwari and Rao (2006) ได้สร้างแบบจำลองทางกายภาพสำหรับทดสอบการกดในสามแกน และการกดทดสอบในสามแกนจริงของมวลหินที่จะถูกนำไปใช้อธิบายพฤติกรรมการแตกที่เกิดขึ้น ตัวอย่างหินประกอบด้วยรอยแตกที่ต่อเนื่องจำนวน 3 ชุด ที่เตรียมมาจาก Block ของแบบจำลองวัสดุ Sand lime การทดสอบได้ทำโดยใช้ระบบกดทดสอบในสามแกนจริง (TTS) ที่ถูกพัฒนาขึ้น ผลที่ได้แสดงความเครียดที่เพิ่มมากขึ้น (Strain hardening) ความเครียดที่ลดลง (Strain softening) และพฤติกรรมเชิงพลาสติกของมวลหินที่ถูกจำลองที่ขึ้นกับรูปร่างเชิงเรขาคณิตของรอยแตกและสภาพความเค้น

Rao and Tiwari (2008) ได้พัฒนาระบบการให้แรงแบบหดลายแกนสำหรับทดสอบแบบจำลองรอยแตกในมวลหิน (รูปที่ 2.1) โดยทำการออกแบบและพัฒนาระบบการให้แรงแบบสามแกนไม่เท่ากัน ที่ห้องปฏิบัติการของสถาบันเทคโนโลยีอินเดีย นิวเดลี ในการสร้างแบบจำลองมวลหินขนาดใหญ่ของรูปทรงรอยแตกที่แตกต่างกันเพื่อให้สามารถนำมาทดสอบสภาพความเครียดแบบสามแกนไม่เท่ากัน โดยจำลองสภาพความเครียดในภาคสนามด้วยการใช้เครื่องกดทดสอบในสามแกนจริงที่ได้ออกแบบ ประกอบด้วยโครงกดในแนวตั้ง 1,000 kN และโครงกดในแนวราบ (Biaxial frame) อีกสองตัวๆ ละ 300 kN แรงดันถูกจำกัดด้วยไฮดรอลิกแจ็ค (Hydraulic jacks) และแผ่นเหล็ก หน่วยของแรงดันล้อมรอบที่ใช้จะคงที่ ทำให้สามารถตรวจวัดและรักษาความเค้นในแนวราบ ( $\sigma_2$  และ  $\sigma_3$ ) บนหน้าตัวอย่างได้ง่าย โดยระบบเก็บข้อมูลจะมีแปดช่อง มีการบันทึกแรงทั้งหมดที่ใช้และส่งข้อมูลการเปลี่ยนแปลงรูปร่างไปยังคอมพิวเตอร์ ระบบดังกล่าวถูกตรวจสอบโดยการทดสอบสามแกนจริงบนแบบจำลองตัวอย่างที่หลักหดลายของบล็อกหินทราย-ปูน ซึ่งมีรอยแตกสามทิศทางที่ตั้งหากัน



รูปที่ 2.1 การติดตั้งระบบการให้แรงแบบสามแกนจริงของ Rao and Tiwari (2008)

Walsri et al. (2009) ได้ทำการพัฒนา Polyaxial load frame (รูปที่ 2.2) เพื่อทำการทดสอบแรงกดและกำลังแรงดึงภายใต้ความเค้นในสามทิศทางจริงสำหรับใช้ในการทดสอบหินทรายสามชนิด ภายใต้ความเค้นกดในสามแกนจริง ผลลัพธ์ที่ได้ของหินทรายเป็น Transversely isotropic โดยได้มีการตรวจวัดค่าสัมประสิทธิ์ความยืดหยุ่นในทิศทางที่นานกับ Bedding plane สัดส่วนของค่า Poisson's บนระนาบปกติมีค่าน้อยกว่าผลที่ได้จากทิศทางนานกับ Bedding plane ผลจากการทดสอบแรงดึงแบบ Brazillian ภายใต้แรงกดในแกนเดียวมีผลกรอบต่อค่าความเค้นหลักกลางของค่ากำลังดึงสูงสุดของหิน ซึ่งการทดสอบตัวอย่างหินในสามแกนเป็นกิจกรรมที่สำคัญที่รวมอยู่ในการสำรวจ วิเคราะห์ และออกแบบโครงสร้างทางวิศวกรรมในมวลหิน โดยเฉพาะอย่างยิ่งโครงสร้างที่อยู่ใต้ดิน เช่น อุโมงค์ และเหมืองใต้ดิน เป็นต้น อย่างไรก็ตามการทดสอบแรงกดในสามแกนนี้ส่วนใหญ่จะไม่สอดคล้องกับสภาพของความเค้นที่เกิดขึ้นจริงในภาคสนาม กล่าวคือ ความเค้นในแกนหลักในสามทิศทางไม่จำเป็นต้องเท่ากัน คือ  $\sigma_1 \neq \sigma_2 \neq \sigma_3$  เรียกว่า ความเค้นกดในสามแกนจริง แต่การทดสอบโดยการจำลองความเค้นกดในสามแกนจริงจะทำได้ยากและใช้เครื่องมือพิเศษที่มีราคาสูงมาก (อยู่ในระดับหลายล้านดอลลาร์) ดังนั้นการทดสอบแบบการกดในสามแกนจริง จึงไม่เป็นที่นิยมและแพร่หลาย ซึ่งโดยสรุปแล้วข้อเสียของเครื่องกดในสามแกนจริงที่ใช้กันอยู่ในปัจจุบันคือ 1) มีราคาสูง 2) มีความซับซ้อนในการใช้งาน 3) ไม่สามารถทดสอบการเคลื่อนไหวของหินได้อย่างต่อเนื่อง 4) ใช้พลังงานไฟฟ้ามากเพื่อที่จะควบคุมแรงกดให้คงที่ (Servo-Control) และ 5) ยกที่จะรักษาระดับของแรงให้คงที่อย่างแท้จริงในช่วงเวลาการทดสอบที่ต้องการความเค้นคงที่ด้านข้าง



รูปที่ 2.2 โครงกดทดสอบในสามแกนจริงที่ Walsri et al. (2009) ได้ทำการพัฒนา

## บทที่ 3

### การจัดเตรียมตัวอย่าง

เนื้อหาในบทนี้ได้อธิบายขั้นตอน วิธีการ และข้อปฏิบัติในการจัดเตรียมตัวอย่างหินรายเพื่อใช้ทดสอบในห้องปฏิบัติการ เพื่อศึกษาผลกระทบของความเค้นขนาดกับรอยแตก ( $\sigma_p$ ) ต่อค่ากำลังรับแรงเฉือนของหินรายภายใต้สภาวะสามแgnจริง

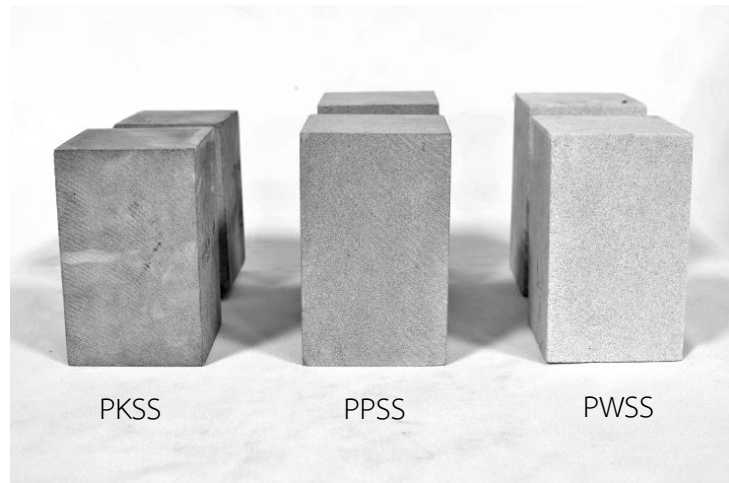
#### การเตรียมตัวอย่างหิน

ตัวอย่างหินรายที่ใช้ในการศึกษานี้ประกอบด้วยหินรายชุดภูกระดึง (Phu Kradung sandstone) หินรายชุดภูพาน (Phu Phan sandstone) และหินรายชุดพระวิหาร (Phra Wiha sandstone) ตัวอย่างที่ใช้ในการทดสอบมีความเป็นเนื้อเดียวกันสูงและไม่มีรอยแตกในเนื้อหินเพื่อควบคุมความแปรปรวนของการสร้างรอยแตกของหิน โดยหินรายเหล่านี้มีความสำคัญอย่างมากเนื่องจากพบมากในภาคตะวันออกเฉียงเหนือของประเทศไทย จึงมีแนวโน้มที่จะสามารถนำมาใช้เป็นวัสดุทางวิศวกรรมหรือใช้เป็นฐานราก สำหรับการจัดเตรียมตัวอย่างหินในห้องปฏิบัติการเพื่อใช้ในการทดสอบได้แบ่งออกเป็น 3 กลุ่ม ดังนี้

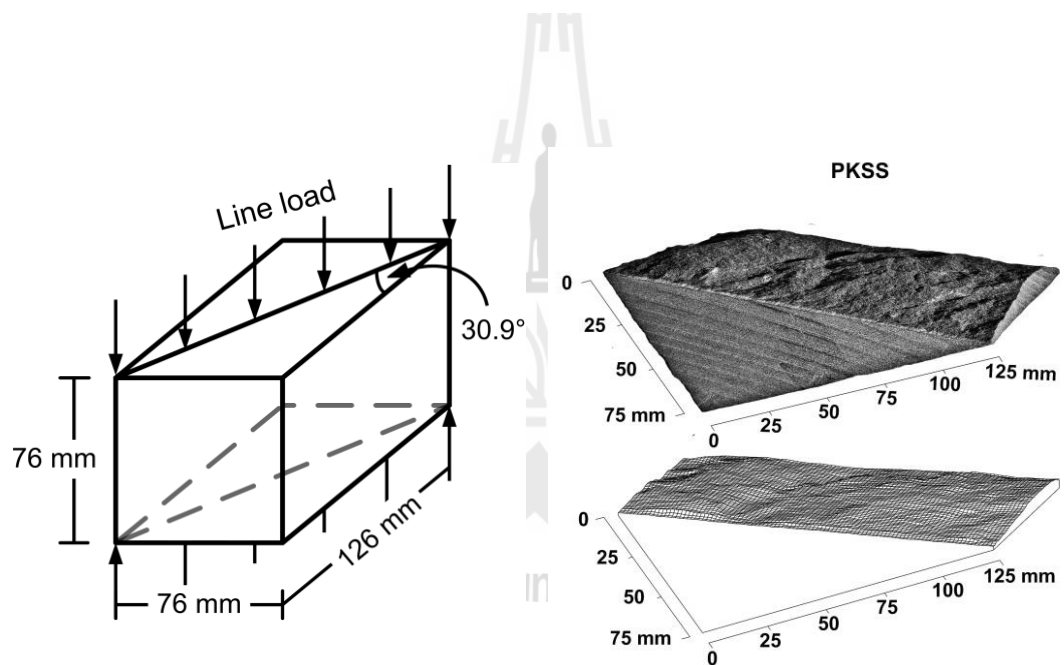
#### 3.1 การเตรียมตัวอย่างสำหรับทดสอบกำลังเฉือนของรอยแตกในสามแgnจริง (ผิวขรุขระ)

การทดสอบกำลังเฉือนของรอยแตกในสามแgnจริง ได้ใช้หินรายทั้ง 3 ชนิด ดังกล่าวข้างต้น โดยตัดให้มีขนาด  $76 \times 76 \times 127 \text{ mm}^3$  แสดงในรูปที่ 3.1 จากนั้นทำการให้แรงดึงแบบแนวเส้น (Tension-induced fracture) เพื่อสร้างรอยแตกดังแสดงในรูปที่ 3.2 รอยแตกที่สร้างขึ้นมีค่า JRC ที่ประมาณ 6-8 และในรูปที่ 3.3 โดยการทดสอบกำลังเฉือนของรอยแตกในสามแgnจริงได้ดำเนินการโดยใช้โครงกดทดสอบแบบหลายแกน (Polyaxial load fame) และได้แบ่งการทดสอบออกเป็น 2 รูปแบบคือ

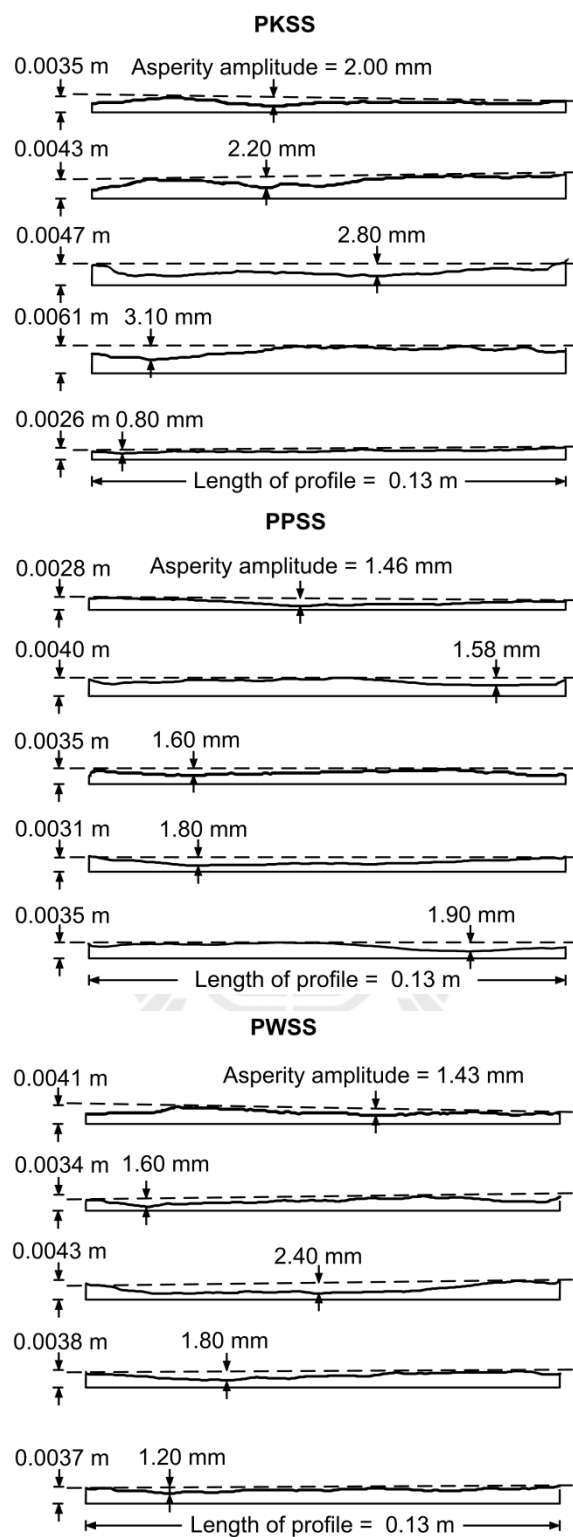
- 1) การทดสอบกำลังเฉือนของรอยแตกในสามแgnจริงโดยที่ความเค้นขนาดกับรอยแตก ( $\sigma_p$ ) เป็นสัดส่วนกับความเค้นบนรอยแตก ( $\sigma_0$ ) โดยมีค่าระหว่าง 0, 0.5, 1, 2, 3 และ 4 MPa และได้ใช้ตัวอย่างหินรายทั้งหมด 33 ก้อน และตารางที่ 3.1 แสดงลักษณะทางกายภาพของตัวอย่างหินรายที่ใช้ในการทดสอบกำลังเฉือนของรอยแตกในสามแgnจริง (ผิวขรุขระ) ของชุดที่หนึ่ง



รูปที่ 3.1 ตัวอย่างหินทรายทั้ง 3 ชนิด ที่ใช้ในการทดสอบ



รูปที่ 3.2 ตัวอย่างหินทรายที่ใช้ในการทดสอบและลักษณะการหักแรงดึงแบบแนวเส้น  
(Tension-induced fracture)



รูปที่ 3.3 ตัวอย่างของสแกนไลน์จากหินทรายบางส่วนที่สามารถประเมินค่า JRC (Barton, 1982) อยู่ระหว่างช่วง 6-8

ตารางที่ 3.1 คุณสมบัติทางกายภาพของตัวอย่างหินทรายทั้งสามชนิด สำหรับการทดสอบกำลังเฉือนของรอยแตกในสามแกนจริง โดยที่  $\sigma_p$  เป็นสัดส่วนกับ  $\sigma_o$  (ผิวชุมชน)

Specimen No.	Dimension (cc)	Density (g/cc)
PKSS-01	7.61×7.6×12.7	2.55
PKSS-02	7.6×7.6×12.72	2.53
PKSS-03	7.62×7.63×12.63	2.5
PKSS-04	7.61×7.62×12.62	2.55
PKSS-05	7.62×7.6×12.63	2.53
PKSS-06	7.63×7.6×12.61	2.54
PKSS-07	7.6×7.61×12.62	2.56
PKSS-08	7.63×7.61×12.6	2.52
PKSS-09	7.63×7.62×12.63	2.54
PKSS-10	7.6×7.65×12.7	2.53
PKSS-11	7.62×7.64×12.64	2.52
PKSS-12	7.63×7.63×12.6	2.53
PKSS-13	7.6×7.6×12.65	2.56
PKSS-14	7.6×7.61×12.62	2.57
PKSS-15	7.62×7.61×12.64	2.52
PKSS-16	7.6×7.61×12.62	2.54
PKSS-17	7.6×7.6×12.62	2.54
PKSS-18	7.62×7.61×12.67	2.53
PKSS-19	7.6×7.61×12.62	2.54
PKSS-20	7.6×7.63×12.63	2.56
PKSS-21	7.61×7.61×12.7	2.56
PKSS-22	7.62×7.6×12.64	2.54
PKSS-23	7.62×7.64×12.6	2.53
PKSS-24	7.6×7.61×12.64	2.54
PKSS-25	7.6×7.61×12.62	2.51
PKSS-26	7.6×7.62×12.63	2.54
PKSS-27	7.6×7.61×12.63	2.53
PKSS-28	7.63×7.62×12.62	2.55

ตารางที่ 3.1 คุณสมบัติทางกายภาพของตัวอย่างหินทรายทั้งสามชนิด สำหรับการทดสอบกำลังเฉือนของรอยแตกในสามแกนจริง โดยที่  $\sigma_p$  เป็นสัดส่วนกับ  $\sigma_o$  (ผิวขรุขระ) (ต่อ)

Specimen No.	Dimension (cc)	Density (g/cc)
PKSS-29	7.62×7.63×12.62	2.5
PKSS-30	7.6×7.61×12.62	2.56
PKSS-31	7.6×7.6×12.6	2.53
PKSS-32	7.6×7.61×12.71	2.55
PPSS-01	7.63×7.63×12.7	2.45
PPSS-02	7.65×7.62×12.63	2.42
PPSS-03	7.65×7.63×12.63	2.43
PPSS-04	7.64×7.62×12.66	2.43
PPSS-05	7.6×7.6×12.6	2.39
PPSS-06	7.6×7.65×12.6	2.36
PPSS-07	7.6×7.61×12.62	2.44
PPSS-08	7.63×7.61×12.64	2.46
PPSS-09	7.6×7.61×12.62	2.4
PPSS-10	7.62×7.62×12.6	2.46
PPSS-11	7.63×7.6×12.67	2.45
PPSS-12	7.6×7.61×12.62	2.42
PPSS-13	7.62×7.61×12.6	2.39
PPSS-14	7.62×7.6×12.6	2.38
PPSS-15	7.63×7.65×12.7	2.4
PPSS-16	7.62×7.6×12.7	2.44
PPSS-17	7.6×7.61×12.62	2.41
PPSS-18	7.62×7.62×12.6	2.42
PPSS-19	7.63×7.6×12.67	2.47
PPSS-20	7.6×7.61×12.62	2.46
PPSS-21	7.62×7.61×12.6	2.39
PPSS-22	7.62×7.63×12.63	2.45
PPSS-23	7.63×7.64×12.66	2.43
PPSS-24	7.61×7.6×12.6	2.43

ตารางที่ 3.1 คุณสมบัติทางกายภาพของตัวอย่างหินทรายทั้งสามชนิด สำหรับการทดสอบกำลังเฉือนของรอยแตกในสามแกนจริง โดยที่  $\sigma_p$  เป็นสัดส่วนกับ  $\sigma_o$  (ผิวขรุขระ) (ต่อ)

Specimen No.	Dimension (cc)	Density (g/cc)
PPSS-25	7.61×7.63×12.71	2.42
PPSS-26	7.62×7.62×12.65	2.45
PPSS-27	7.63×7.62×12.7	2.43
PPSS-28	7.6×7.61×12.6	2.39
PPSS-29	7.63×7.63×12.62	2.42
PPSS-30	7.65×7.62×12.66	2.4
PPSS-31	7.6×7.6×12.63	2.43
PPSS-32	7.62×7.62×12.61	2.38
PWSS-01	7.6×7.6×12.64	2.21
PWSS-02	7.63×7.62×12.6	2.23
PWSS-03	7.62×7.65×12.65	2.23
PWSS-04	7.63×7.62×12.67	2.19
PWSS-05	7.64×7.62×12.64	2.24
PWSS-06	7.62×7.62×12.65	2.26
PWSS-07	7.63×7.67×12.63	2.22
PWSS-08	7.6×7.61×12.6	2.23
PWSS-09	7.62×7.61×12.6	2.23
PWSS-10	7.62×7.6×12.6	2.24
PWSS-11	7.63×7.65×12.7	2.26
PWSS-12	7.62×7.6×12.7	2.19
PWSS-13	7.6×7.63×12.62	2.22
PWSS-14	7.62×7.6×12.6	2.26
PWSS-15	7.63×7.6×12.6	2.26
PWSS-16	7.6×7.63×12.62	2.29
PWSS-17	7.62×7.62×12.62	2.25
PWSS-18	7.62×7.6×12.63	2.23
PWSS-19	7.63×7.62×12.63	2.26
PWSS-20	7.61×7.6×12.6	2.23

ตารางที่ 3.1 คุณสมบัติทางกายภาพของตัวอย่างหินทรายทั้งสามชนิด สำหรับการทดสอบกำลังเฉือนของรอยแตกในสามแกนจริง โดยที่  $\sigma_p$  เป็นสัดส่วนกับ  $\sigma_0$  (ผิวขรุขระ) (ต่อ)

Specimen No.	Dimension (cc)	Density (g/cc)
PWSS-21	7.61×7.6×12.6	2.22
PWSS-22	7.6×7.6×12.62	2.2
PWSS-23	7.62×7.63×12.63	2.25
PWSS-24	7.6×7.6×12.62	2.17
PWSS-25	7.62×7.64×12.63	2.28
PWSS-26	7.63×7.63×12.61	2.3
PWSS-27	7.6×7.61×12.62	2.3
PWSS-28	7.63×7.63×12.62	2.26
PWSS-29	7.63×7.63×12.65	2.24
PWSS-30	7.63×7.62×12.7	2.33
PWSS-31	7.6×7.6×12.6	2.3
PWSS-32	7.6×7.6×12.6	2.25

2) การทดสอบกำลังเฉือนของรอยแตกในสามแกนจริงโดยที่ความเค้นข้านกับรอยแตก ( $\sigma_p$ ) มีค่าคงที่เป็น 1, 2 และ 3 MPa และความเค้นบนรอยแตก ( $\sigma_0$ ) ผันแปรระหว่าง 1.5–6 MPa โดยใช้ตัวอย่างหินทรายทั้งหมด 19 ก้อน และตารางที่ 3.2 แสดงลักษณะทางกายภาพของตัวอย่างหินทรายที่ใช้ในการทดสอบกำลังเฉือนของรอยแตกในสามแกนจริง (ผิวขรุขระ) ของชุดที่สอง

### 3.2 การเตรียมตัวอย่างสำหรับการทดสอบกำลังเฉือนภายใต้ความเค้นข้านกับรอยแตกคงที่ (ผิวเรียบ)

การทดสอบกำลังเฉือนดังกล่าวจะดำเนินการโดยใช้เครื่องกดทดสอบแบบหลายแกน และได้ใช้หินทรายทั้ง 3 ชนิด ตามที่ได้กล่าวข้างต้น โดยตัดหินให้มีขนาด  $76\times76\times127\text{ mm}^3$  จากนั้นใช้เครื่องตัดเพื่อสร้างพื้นผิวสัมผัสเรียบในแนวเอียง (Smooth saw-cut surfaces) ดังแสดงในรูปที่ 3.4 จากนั้นนำมาทำการทดสอบโดยผันแปรความเค้นข้านกับรอยแตก 3 ระดับ คือ 0, 1 และ 2 MPa ส่วนความเค้นตั้งฉากรอยแตกจะผันแปรจาก 1–6 MPa และตารางที่ 3.3 แสดงลักษณะทางกายภาพของตัวอย่างหินทรายที่ใช้ในการทดสอบกำลังเฉือนภายใต้ความเค้นข้านกับรอยแตกคงที่ (ผิวเรียบ)

ตารางที่ 3.2 คุณสมบัติทางกายภาพของตัวอย่างหินทรายทั้งสามชนิด สำหรับการทดสอบกำลังเฉือนของรอยแตกในสามแกนจริง โดยที่  $\sigma_p$  มีค่าคงที่ (ผิวขรุขระ)

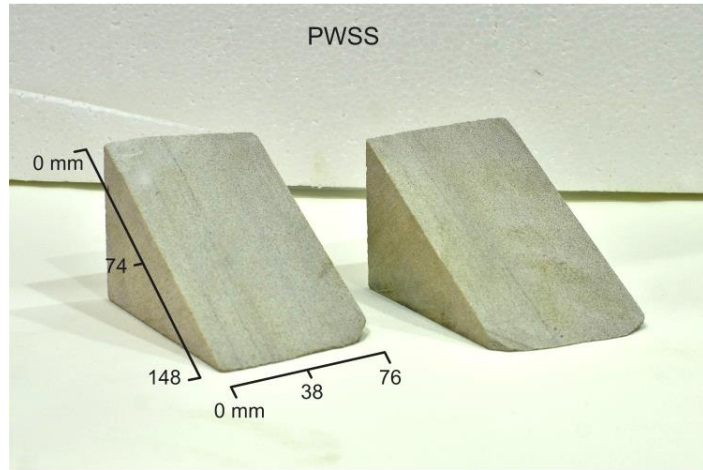
Specimen No.	Dimension (cc)	Density (g/cc)
PKSS-01	7.62×7.6×12.62	2.52
PKSS-02	7.59×7.61×12.58	2.53
PKSS-03	7.63×7.6×12.6	2.52
PKSS-04	7.59×7.58×12.61	2.5
PKSS-05	7.58×7.58×12.61	2.54
PKSS-06	7.6×7.6×12.6	2.5
PKSS-07	7.62×7.61×12.6	2.56
PKSS-08	7.6×7.62×12.63	2.55
PKSS-09	7.59×7.59×12.59	2.54
PKSS-10	7.57×7.59×12.58	2.53
PKSS-11	7.61×7.6×12.6	2.52
PKSS-12	7.62×7.61×12.62	2.53
PKSS-13	7.62×7.59×12.61	2.56
PKSS-14	7.59×7.6×12.59	2.57
PKSS-15	7.57×7.61×12.59	2.51
PKSS-16	7.6×7.61×12.62	2.53
PKSS-17	7.62×7.59×12.6	2.54
PKSS-18	7.6×7.59×12.6	2.53
PKSS-19	7.59×7.62×12.61	2.54
PKSS-20	7.61×7.63×12.58	2.52
PKSS-21	7.58×7.61×12.59	2.56
PKSS-22	7.59×7.6×12.6	2.58
PKSS-23	7.6×7.6×12.62	2.57
PKSS-24	7.61×7.59×12.61	2.56
PKSS-25	7.61×7.58×12.58	2.52
PKSS-26	7.62×7.6×12.59	2.54
PKSS-27	7.6×7.62×12.6	2.53
PKSS-28	7.6×7.61×12.61	2.55

ตารางที่ 3.2 คุณสมบัติทางกายภาพของตัวอย่างหินทรายทั้งสามชนิด สำหรับการทดสอบกำลังเฉือนของรอยแตกในสามแกนจริง โดยที่  $\sigma_p$  มีค่าคงที่ (ผิวขรุขระ) (ต่อ)

Specimen No.	Dimension (cc)	Density (g/cc)
PPSS-01	7.62×7.61×12.6	2.39
PPSS-02	7.62×7.59×12.61	2.42
PPSS-03	7.59×7.6×12.59	2.41
PPSS-04	7.57×7.61×12.6	2.46
PPSS-05	7.58×7.58×12.61	2.38
PPSS-06	7.6×7.6×12.6	2.36
PPSS-07	7.62×7.6×12.6	2.39
PPSS-08	7.6×7.62×12.62	2.42
PPSS-09	7.61×7.61×12.61	2.44
PPSS-10	7.62×7.62×12.62	2.46
PPSS-11	7.61×7.59×12.59	2.45
PPSS-12	7.59×7.61×12.59	2.44
PPSS-13	7.61×7.6×12.61	2.39
PPSS-14	7.6×7.6×12.6	2.38
PPSS-15	7.58×7.62×12.59	2.42
PPSS-16	7.61×7.59×12.62	2.43
PPSS-17	7.6×7.58×12.61	2.41
PPSS-18	7.62×7.6×12.59	2.42
PPSS-19	7.6×7.6×12.62	2.49
PPSS-20	7.59×7.62×12.59	2.45
PPSS-21	7.6×7.61×12.6	2.39
PPSS-22	7.58×7.6×12.6	2.46
PPSS-23	7.61×7.61×12.61	2.43
PPSS-24	7.62×7.6×12.63	2.44
PPSS-25	7.6×7.6×12.59	2.46
PPSS-26	7.62×7.58×12.6	2.45
PPSS-27	7.61×7.6×12.62	2.43
PPSS-28	7.6×7.59×12.6	2.39

ตารางที่ 3.2 คุณสมบัติทางกายภาพของตัวอย่างหินทรายทั้งสามชนิด สำหรับการทดสอบกำลังเฉือนของรอยแตกในสามแกนจริง โดยที่  $\sigma_p$  มีค่าคงที่ (ผิวขรุขระ) (ต่อ)

Specimen No.	Dimension (cc)	Density (g/cc)
PWSS-01	7.59×7.6×12.62	2.2
PWSS-02	7.61×7.58×12.59	2.22
PWSS-03	7.58×7.62×12.6	2.23
PWSS-04	7.59×7.61×12.62	2.19
PWSS-05	7.6×7.59×12.61	2.25
PWSS-06	7.61×7.62×12.61	2.26
PWSS-07	7.62×7.61×12.59	2.2
PWSS-08	7.6×7.59×12.58	2.23
PWSS-09	7.6×7.58×12.6	2.24
PWSS-10	7.61×7.6×12.61	2.25
PWSS-11	7.59×7.6×12.6	2.26
PWSS-12	7.58×7.62×12.59	2.19
PWSS-13	7.6×7.62×12.62	2.22
PWSS-14	7.61×7.61×12.59	2.26
PWSS-15	7.6×7.62×12.59	2.28
PWSS-16	7.59×7.59×12.58	2.29
PWSS-17	7.59×7.59×12.6	2.25
PWSS-18	7.61×7.62×12.58	2.23
PWSS-19	7.62×7.61×12.6	2.26
PWSS-20	7.6×7.63×12.61	2.24
PWSS-21	7.58×7.62×12.62	2.26
PWSS-22	7.59×7.59×12.58	2.22
PWSS-23	7.6×7.58×12.59	2.21
PWSS-24	7.62×7.58×12.61	2.19
PWSS-25	7.61×7.62×12.6	2.26
PWSS-26	7.6×7.58×12.61	2.28
PWSS-27	7.59×7.61×12.62	2.25
PWSS-28	7.58×7.6×12.61	2.23



รูปที่ 3.4 ตัวอย่างหินทรายแบบผิวนิ่มเรียบบางส่วนสำหรับการทดสอบกำลังเนื้อนภายในใต้ความคื้นชื้นกับรอยแตกคงที่

ตารางที่ 3.3 คุณสมบัติทางกายภาพของตัวอย่างหินทรายทั้งสามชนิด สำหรับการทดสอบกำลังเนื้อนของรอยแตกในสามแกนจริง โดยที่  $\sigma_p$  มีค่าคงที่ (ผิวนิ่ม)

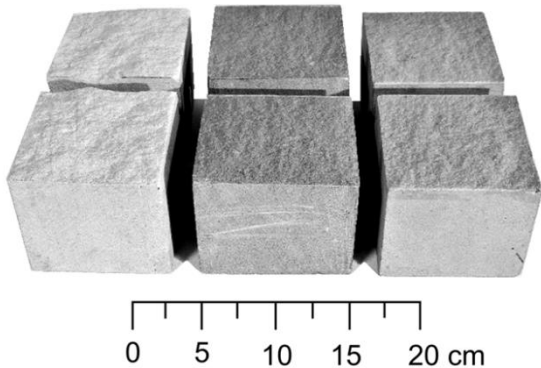
Specimen No.	Dimension (cc)	Density (g/cc)
PKSS-01	7.6×7.61×12.6	2.51
PKSS-02	7.62×7.6×12.59	2.52
PKSS-03	7.61×7.62×12.61	2.49
PKSS-04	7.6×7.59×12.62	2.54
PKSS-05	7.58×7.6×12.6	2.53
PKSS-06	7.63×7.61×12.6	2.51
PKSS-07	7.59×7.62×12.59	2.56
PKSS-08	7.6×7.59×12.58	2.52
PKSS-09	7.61×7.59×12.59	2.52
PKSS-10	7.62×7.6×12.6	2.51
PKSS-11	7.6×7.61×12.62	2.49
PKSS-12	7.6×7.62×12.61	2.56
PPSS-01	7.61×7.6×12.6	2.38
PPSS-02	7.61×7.61×12.59	2.4

ตารางที่ 3.3 คุณสมบัติทางกายภาพของตัวอย่างหินทรายทั้งสามชนิด สำหรับการทดสอบกำลังเฉือนของรอยแตกในสามแกนจริง โดยที่  $\sigma_p$  มีค่าคงที่ (ผิวเรียบ) (ต่อ)

Specimen No.	Dimension (cc)	Density (g/cc)
PPSS -03	7.59×7.61×12.61	2.45
PPSS -04	7.58×7.59×12.61	2.43
PPSS -05	7.59×7.61×12.6	2.4
PPSS -06	7.61×7.62×12.6	2.39
PPSS -07	7.6×7.6×12.62	2.38
PPSS -08	7.6×7.59×12.59	2.47
PPSS -09	7.59×7.61×12.58	2.46
PPSS -10	7.58×7.62×12.6	2.44
PPSS -11	7.62×7.6×12.6	2.4
PPSS -12	7.61×7.61×12.61	2.42
PWSS-01	7.6×7.61×12.62	2.24
PWSS -02	7.59×7.59×12.59	2.25
PWSS -03	7.61×7.58×12.61	2.27
PWSS -04	7.59×7.6×12.62	2.19
PWSS -05	7.6×7.61×12.6	2.28
PWSS -06	7.61×7.59×12.6	2.24
PWSS -07	7.61×7.61×12.61	2.27
PWSS -08	7.6×7.62×12.62	2.23
PWSS -09	7.59×7.58×12.58	2.18
PWSS -10	7.62×7.6×12.6	2.22
PWSS -11	7.61×7.6×12.61	2.25
PWSS -12	7.6×7.61×12.59	2.23

### 3.3 การเตรียมตัวอย่างสำหรับการทดสอบกำลังเฉือนแบบโดยตรง (ผิวขรุขระ)

การทดสอบกำลังเฉือนแบบโดยตรงได้ใช้เครื่องทดสอบกำลังรับแรงเฉือนโดยตรง (Model DR-44 Direct Shear Machine) ตามมาตรฐาน ASTM D5607 และได้ใช้หินทรายทั้ง 3 ชนิด ทั้งหมด 12 ก้อน โดยตัดหินใหม่ขนาด  $100 \times 100 \times 150 \text{ mm}^3$  ดังแสดงในรูปที่ 3.5 จากนั้นทำการให้แรงดึงแบบแนวเส้น (Tension-induced fracture) เพื่อสร้างรอยแตก และใช้ค่าความเค้นตั้งฉาก 4 ระดับ คือ 1, 2, 3 และ 4 MPa และตารางที่ 3.4 แสดงลักษณะทางกายภาพของตัวอย่างหินทรายที่ใช้ในการทดสอบกำลังเฉือนแบบโดยตรง



รูปที่ 3.5 ตัวอย่างหินทรายทั้ง 3 ชนิด สำหรับการทดสอบกำลังเฉือนแบบโดยตรง  
หลังจากมีการให้แรงดึงแบบแนวเส้น

ตารางที่ 3.4 คุณสมบัติทางกายภาพของตัวอย่างหินทรายทั้งสามชนิด สำหรับการทดสอบกำลังเฉือนแบบโดยตรง

Specimen No.	Dimension (cc)	Density (g/cc)
PKSS-01	$7.61 \times 7.6 \times 12.6$	2.2
PKSS-02	$7.62 \times 7.61 \times 12.62$	2.23
PKSS-03	$7.62 \times 7.59 \times 12.61$	2.24
PKSS-04	$7.6 \times 7.6 \times 12.61$	2.25
PPSS-01	$7.63 \times 7.6 \times 12.6$	2.38
PPSS-02	$7.61 \times 7.61 \times 12.6$	2.36
PPSS-03	$7.62 \times 7.63 \times 12.61$	2.39

ตารางที่ 3.4 คุณสมบัติทางกายภาพของตัวอย่างหินรายห้องสามชนิด สำหรับการทดสอบกำลังเฉือนแบบโดยตรง (ต่อ)

Specimen No.	Dimension (cc)	Density (g/cc)
PPSS-04	7.63×7.62×12.61	2.42
PWSS-01	7.6×7.6×12.6	2.25
PWSS-02	7.62×7.6×12.62	2.27
PWSS-03	7.62×7.62×12.7	2.19
PWSS-04	7.61×7.64×12.65	2.28

## บทที่ 4

### การทดสอบในห้องปฏิบัติการ

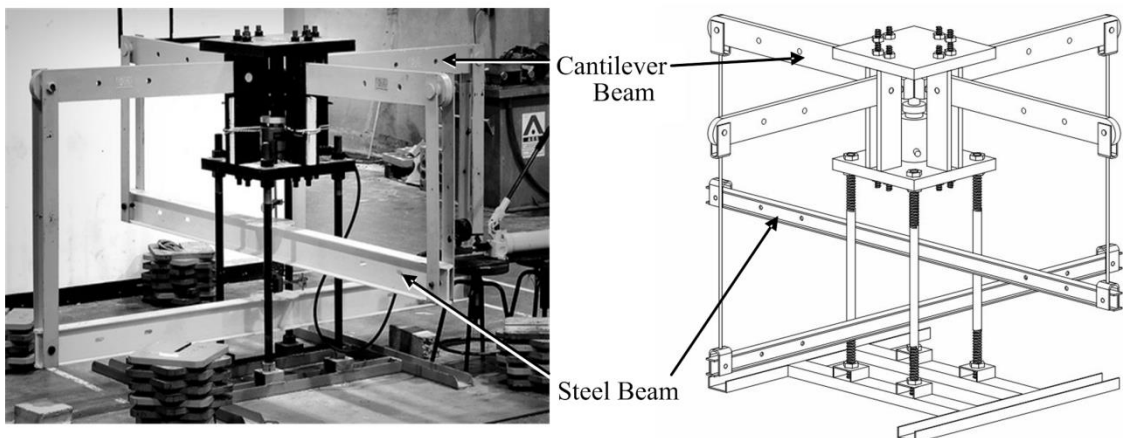
#### 4.1 วัตถุประสงค์

เนื้อหาในบทนี้อธิบายขั้นตอน วิธีการ และข้อปฏิบัติในการทดสอบกำลังเฉือนของรอยแตกในสามแgnจริง การทดสอบกำลังรับแรงเฉือนแบบโดยตรงและสมการที่ใช้ในการคำนวณผลการทดสอบโดยการทดสอบเหล่านี้มีวัตถุประสงค์เพื่อจำลองสภาพของความเค้นที่กระทำบนรอยแตกของหิน และจะส่งผลกระทบต่อค่ากำลังรับแรงเฉือนซึ่งเป็นปัจจัยสำคัญในการประเมินเสี่ยรภาพของโครงสร้างทางวิศวกรรมธรณี

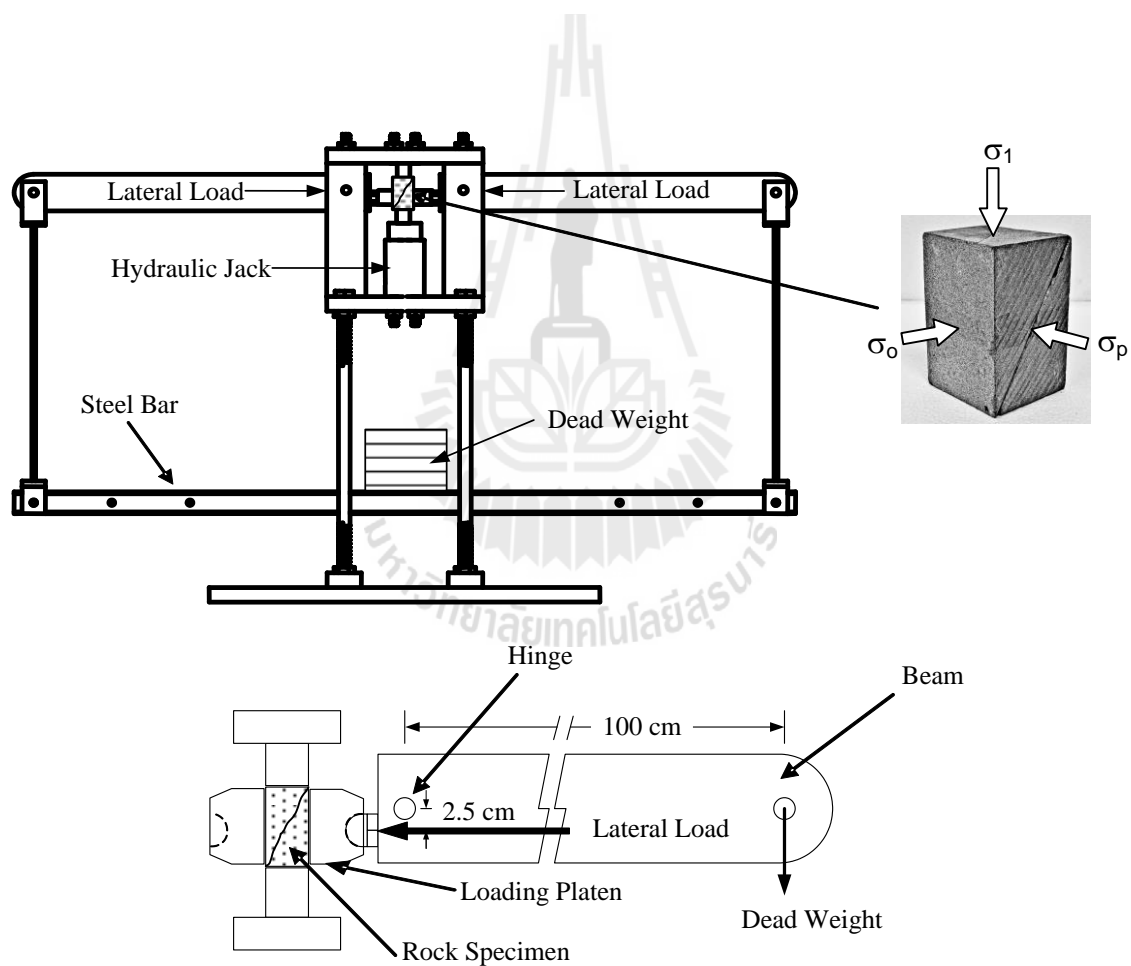
#### 4.2 โครงทดสอบในสามแgnจริง

โครงทดสอบในสามแgnจริงที่ใช้ในงานวิจัยนี้มีพื้นฐานการออกแบบ 3 ประการ คือ 1) กำหนดค่าความเค้นล้อมรอบ ( $\sigma_2$  และ  $\sigma_3$ ) ให้คงที่ในขณะทำการทดสอบ 2) สามารถทดสอบตัวอย่างหินที่มีขนาดเท่ากับหรือใหญ่กว่าแท่งตัวอย่างหินที่ใช้ทดสอบแรงกดสูงสุดในสามแgnแบบดั้งเดิม (สั้นผ่าศูนย์กลางประมาณ 54 mm) และ 3) สามารถวัดค่าการเคลื่อนตัวในแนวแกนหลักได้โดยตรง

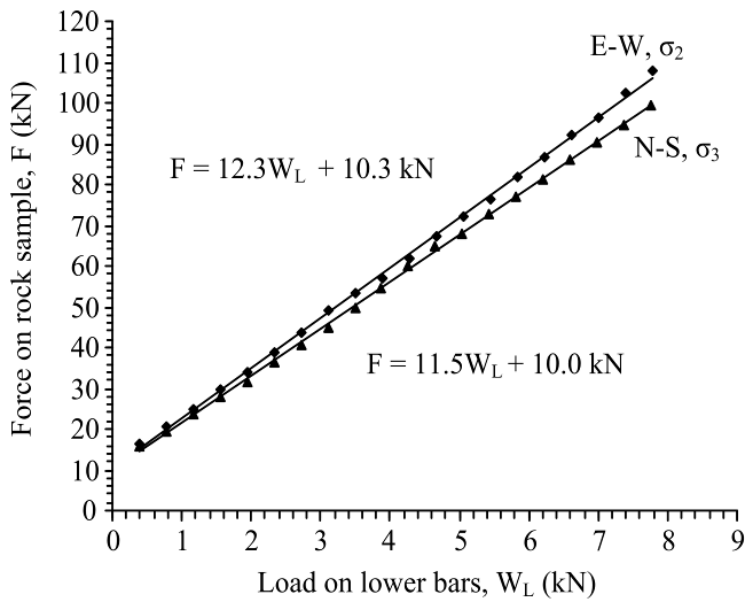
รูปที่ 4.1 แสดงโครงทดสอบในสามแgnจริง (Walsri et al., 2009) ซึ่งได้ถูกประยุกต์ใช้ในงานวิจัยนี้เพื่อทดสอบค่ากำลังเฉือนสูงสุดในสามแgn โดยค่าความเค้นด้านข้างที่กระทำบนตัวอย่างหินในแต่ละด้านจะได้รับแรงที่เกิดขึ้นจากความกดแรง ในส่วนล่างของคนรับตุ้มน้ำหนักจะใช้เหล็กเส้นแขวนตุ้มน้ำหนักเชื่อมต่อระหว่างจุดปลายของคนทั้งสองข้างที่จุดกึ่งกลางของคนรับตุ้มน้ำหนักเพื่อใช้ใส่ตุ้มน้ำหนักในการดึงแขนของคนทั้งสองข้างลงดังแสดงในรูปที่ 4.2 ที่จุดปลายด้านในของคนทั้งสองข้างจะใช้เหล็กติดกับสายยืดคนทั้งสองข้างที่อยู่ในแต่ละด้านของโครงทดสอบ ในขณะที่ทำการทดสอบคนทั้งสองข้างจะถูกปรับให้อยู่ในแนวระนาบซึ่งส่งผลต่อแรงกดด้านข้างบนตัวอย่างหินที่จุดกึ่งกลางของโครงทดสอบ และได้กำหนดระยะห่างของเหล็กเส้นแขวนตุ้มน้ำหนักที่ใช้แขวนคนรับตุ้มน้ำหนักจากจุดปลายด้านนอกลึกลงปลายด้านใน อัตราส่วนของแรงมีค่าเท่ากับ 12.3 เท่า ในทิศตะวันออก-ตะวันตก (E-W) และ 11.5 เท่า ในทิศเหนือ-ใต้ (N-S) แสดงในรูปที่ 4.3 ซึ่งได้ทำการสอบเทียบโดยใช้ Electronic load cell อัตราส่วนของแรงที่ได้นี้ถูกนำมาใช้ในการคำนวณการเปลี่ยนแปลงรูปร่างของแท่งตัวอย่างด้านข้างด้วยการวัดอัตราการเคลื่อนที่ในแนวตั้งของแท่งเหล็กทั้งสองที่อยู่ด้านล่าง ส่วนแรงกระทำด้านข้าง ( $\sigma_2$  และ  $\sigma_3$ ) ได้ออกแบบให้สามารถให้ความเค้นมากกว่า 50 MPa และปั๊มไฮดรอลิกเป็นอุปกรณ์ให้ความเค้นที่กระทำในแนวตั้ง ( $\sigma_1$ ) ซึ่งสามารถให้ความเค้นสูงมากกว่า 100 MPa โครงทดสอบสามารถรับขนาดของตัวอย่างหินได้ตั้งแต่  $2.5 \times 2.5 \times 2.5 \text{ cm}^3$  ถึง  $10 \times 10 \times 20 \text{ cm}^3$  การทดสอบกับแท่งตัวอย่างที่มีขนาดและรูปร่างแตกต่างกันจะต้องมีการปรับเปลี่ยนระยะห่างระหว่างหัวกดทั้งสองข้างให้เหมาะสม



รูปที่ 4.1 โครงกดทดสอบในสามแคนจริง



รูปที่ 4.2 องค์ประกอบของโครงกดทดสอบในสามแคนจริง



รูปที่ 4.3 การสอบเทียบอัตราส่วนของแรงเสียดทานด้านข้างที่เกิดจาก  $\sigma_p$  โดยใช้ Electronic load cell อัตราส่วนนี้นำไปใช้ในการคำนวณแก้ไขค่าที่มีการเปลี่ยนแปลงรูปร่างของแท่งตัวอย่างหินด้านข้าง

#### 4.3 วิธีการทดสอบกำลังเฉือนในสามแgnจริง

การทดสอบกำลังเฉือนในสามแgnจริงในห้องปฏิบัติการเพื่อหาค่ากำลังเฉือนสูงสุดและศึกษาผลกระทบของความเค้นล้อmorobต่อรอยแตกของหิน โดยทำการแบ่งการทดสอบออกเป็น 2 รูปแบบ สำหรับผิวชุ่มชื้น คือ (1) การทดสอบที่กำหนดให้ความเค้นขนาดกับรอยแตกเป็นสัดส่วนกับความเค้นบนรอยแตก ( $\sigma_p/\sigma_o$ ) โดยมีค่าระหว่าง 0, 0.5, 1, 2, 3 และ 4 MPa และ (2) การทดสอบที่กำหนดให้ค่าความเค้นขนาดกับรอยแตก ( $\sigma_p$ ) มีค่าคงที่เป็น 1, 2 และ 3 MPa และความเค้นบนรอยแตก ( $\sigma_o$ ) พันประ麾า 1.5 ถึง 6 MPa

การทดสอบกำลังเฉือนของรอยแตกในสามแgnจริงสำหรับผิวเรียบ ได้กำหนดให้ค่าความเค้นขนาดกับรอยแตกมีค่าคงที่เท่ากับ 1, 2 และ 3 MPa และความเค้นบนรอยแตกพันประ麾า 1 ถึง 6 MPa การทดสอบกำลังเฉือนในสามแgnจริงทั้งรอยแตกเรียบและรอยแตกชุ่มชื้นได้แบ่งขั้นตอนการดำเนินงานออกเป็น 3 ขั้นตอน ดังนี้

#### 4.3.1 การเตรียมตัวอย่างหินทรายก่อนการทดสอบ

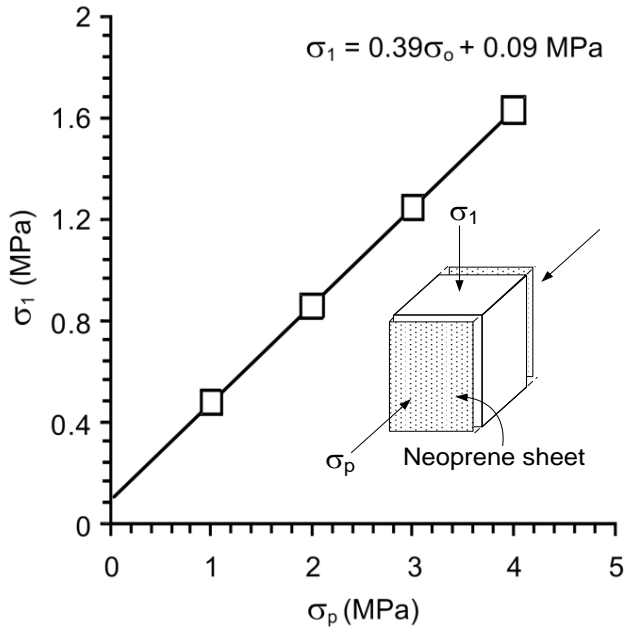
นำตัวอย่างหินทรายที่จะใช้สำหรับการทดสอบกำลังเฉือนในสามแคนจริงมาสร้างรอยแตกในห้องปฏิบัติด้วยการให้แรงดึงแบบแนวเส้น จากนั้นนำมาประกอบกันแล้วประกอบขึ้นด้วยแผ่น Neoprene เพื่อลดผลกระทบที่เกิดจากความเสียดทานระหว่างตัวอย่างหินและเบากดทดสอบ ซึ่งผลของการสอบเทียบผลกระทบของความเสียดทานที่เกิดขึ้นกับค่าความเค้นขนาดกับรอยแตกแสดงในรูปที่ 4.4 โดยแผ่น Neoprene ดังกล่าวจะช่วยลดผลกระทบตัวอย่างหินที่กดด้านสำหรับการทดสอบกำลังเฉือนในสามแคนจริง

#### 4.3.2 วิธีติดตั้งตัวอย่างหินทรายในโครงกดทดสอบ

การติดตั้งตัวอย่างหินทรายเพื่อทดสอบกำลังเฉือนในสามแคนจริง (ผิวขรุขระและผิวเรียบ) มีวิธีการและขั้นตอนดังต่อไปนี้

- 1) เตรียมตัวอย่างหินทรายที่จะทดสอบและเตรียมผู้ช่วยเพื่อยกคานทั้ง 4 ด้าน
- 2) ยกคานในแนวตะวันตก-ตะวันออกขึ้นเพื่อสอดตัวอย่างหินทรายเข้าไปในแท่นกดทดสอบแล้วปล่อยคานลงให้แท่นกดทดสอบชนกับแท่งตัวอย่างสำหรับเป็นตัวแทนของความเค้นบนรอยแตก จากนั้นยกคานในแนวเหนือ-ใต้ขึ้นเพื่อใส่แท่นกดทดสอบแล้วปล่อยคานลงให้แท่นกดทดสอบชนกับแท่งตัวอย่างสำหรับเป็นตัวแทนของความเค้นขนาดกับรอยแตก
- 3) ใส่หัวกดให้แรงด้านล่างและด้านบนของตัวอย่างหินเพื่อให้แรงกดในแนวแกน
- 4) ประกอบคานด้านล่างทั้งสองแคนสำหรับใส่น้ำหนักกดทับ (แผ่นเหล็กตันรูปสี่เหลี่ยม) เพื่อส่งผ่านแรงทั้งความเค้นบนรอยแตกและความเค้นที่ขนาดกับรอยแตก จากนั้นเพิ่มแผ่นน้ำหนักตามการทดสอบที่ได้ออกแบบไว้
- 5) กดตัวอย่างหินทรายด้วยปืนไฮดรอลิกจนกระแท้สั้นเกตเห็นค่ากำลังเฉือนสูงสุดจากมาตรฐานแรงดันในแนวแกน และกดตัวอย่างต่อไปจนกระทั่งบันทึกค่าความเค้นเฉือนคงค้างได้ประมาณ 5-10 ค่า

หมายเหตุ การทดสอบกำลังเฉือนในสามแคนจริงในกรณีที่ค่าความเค้นขนาดกับรอยแตกมีค่าเป็นศูนย์ ไม่ต้องใช้คานในแนวเหนือ-ใต้



รูปที่ 4.4 การสอบเทียบอัตราส่วนของแรงโดยใช้ Electronic load cell อัตราส่วนนี้นำไปใช้ในการคำนวณความเสียดทานระหว่างตัวอย่างหินและเบ้ากดทดสอบ

#### 4.3.3 การทดสอบและการตรวจวัดการเคลื่อนตัว

ในระหว่างการทดสอบจะทำการตรวจวัดค่าการเคลื่อนตัวของตัวอย่างหินทรายในแต่ละแนวแกน โดยทำการติดตั้งมาตรฐานวัดการเคลื่อนตัว (Dial gauge) ในแนวแกนและความเค้นด้านข้างทั้ง 2 แกน ซึ่งได้ทำการตรวจวัดค่าการเคลื่อนตัวระหว่างการทดสอบและในขณะที่ตัวอย่างหินทรายรับแรงกดเพิ่มขึ้นด้วยปั๊มไฮดรอลิกจนกระแทกถึงค่ากำลังเฉือนสูงสุด

#### 4.4 วิธีการทดสอบกำลังเฉือนแบบโดยตรง (ผิวชุรุขระ)

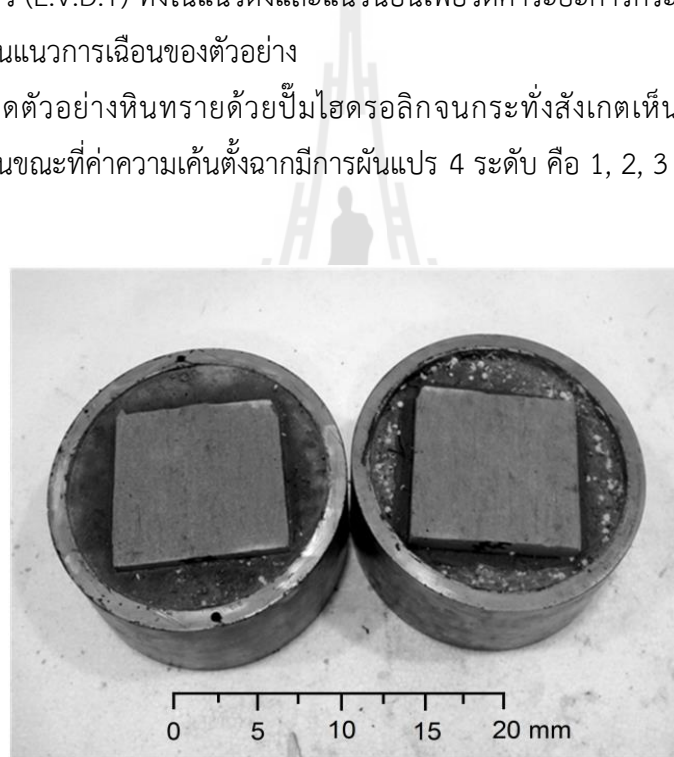
วิธีการทดสอบกำลังเฉือนแบบโดยตรงแบ่งเป็น 2 ขั้นตอน คือ

##### 4.4.1 การเตรียมตัวอย่างหินทรายก่อนการทดสอบ

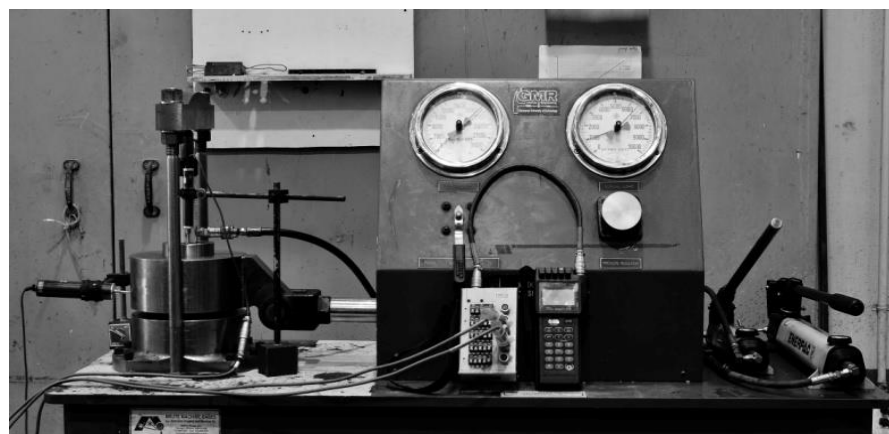
การทดสอบกำลังรับแรงเฉือนของหินทรายในห้องปฏิบัติการเป็นการทดสอบภายใต้การให้แรงในแนวตั้งจากกับร้อยแตกเท่ากับ 1, 2, 3 และ 4 MPa โดยดำเนินการตามมาตรฐาน ASTM D5607-08 ระหว่างการทดสอบได้มีการอ่านและบันทึกค่าการเคลื่อนตัวในแนวแรงกดของตัวอย่างหินเพื่อนำไปคำนวณกำลังรับแรงเฉือนของหินต่อไป

#### 4.4.2 วิธีติดตัวอย่างหินทรายในเครื่องทดสอบกำลังเฉือนแบบโดยตรง

- 1) สร้างรอยแตกในตัวอย่างหินทรายด้วยวิธีการให้แรงดึงแบบแนวเส้น
- 2) ทำการวัดขนาดของตัวอย่างหินอีกครั้งแล้วทำการจดบันทึกข้อมูลเพื่อหาค่าการเปิดเผยของรอยแตก
- 3) นำตัวอย่างหินมาทำการหล่อปูนยืดติดเข้ากับเบ้าเหล็กของเครื่องทดสอบ โดยทำการหล่อที่ลักษณะก้อนดังแสดงในรูปที่ 4.5 เมื่อปูนที่หล่อ ก้อนแรกร้าวแห้งแล้วจึงนำตัวอย่างหินอีกครั้งก้อนที่เหลือมาทำการหล่ออีกครั้ง โดยวางให้รอยแตกของตัวอย่างหินทรายประกับกันสนิท จากนั้นรอประมาณ 12 ชั่วโมง จนกระทั่งปูนที่หล่อไว้แห้ง
- 4) ทำการประกอบเครื่องทดสอบดังรูปที่ 4.6 โดยมีการติดตั้งมาตรฐานการเคลื่อนตัว (L.V.D.T) ทั้งในแนวตั้งและแนวนอนเพื่อวัดค่าระยะการกระดกและการเคลื่อนตัวในแนวการเฉือนของตัวอย่าง
- 5) กดตัวอย่างหินทรายด้วยปีมไฮดรอลิกจนกระทั่งสังเกตเห็นค่ากำลังเฉือนสูงสุด ในขณะที่ค่าความเค้นตั้งฉากมีการผันแปร 4 ระดับ คือ 1, 2, 3 และ 4 MPa



รูปที่ 4.5 ตัวอย่างหินทรายบางส่วนหลังจากหล่อปูนยืดติดกับเบ้าเหล็กของเครื่องทดสอบ กำลังเฉือนแบบโดยตรง



รูปที่ 4.6 การติดตั้งอุปกรณ์การทดสอบกำลังเฉือนแบบโดยตรงด้วยเครื่อง SBEL-DR44

## บทที่ 5

### ผลการทดสอบในห้องปฏิบัติการ

เนื้อหาในบทนี้ได้นำเสนอผลการทดสอบในห้องปฏิบัติการซึ่งประกอบด้วย การทดสอบกำลังรับแรงเฉือนในสามแgnจริงในทุกอัตราส่วนของค่าความเค้นข้านกับรอยแตก และการทดสอบกำลังรับแรงเฉือนแบบโดยตรง โดยการทดสอบได้ใช้โครงกดทดสอบในสามแgnจริง และเครื่องทดสอบกำลังรับแรงเฉือนแบบโดยตรง (SBEL DR44)

#### 5.1 ผลการทดสอบกำลังรับแรงเฉือนในสามแgnจริง

การทดสอบกำลังรับแรงเฉือนในสามแgnจริงได้ทำการทดสอบบนรอยแตกผิวชุขระ และรอยแตกผิวเรียบ โดยแบ่งการทดสอบออกเป็น 3 ชุด ได้แก่ (1) การทดสอบที่กำหนดให้ความเค้นข้านกับรอยแตกเป็นสัดส่วนต่อค่าความเค้นบนรอยแตก ( $\sigma_p/\sigma_0$ ) (2) การทดสอบที่กำหนดให้ค่าความเค้นข้านกับรอยแตก ( $\sigma_p$ ) มีค่าคงที่ และ (3) การทดสอบกำลังรับแรงเฉือนในสามแgnจริงบนรอยแตกผิวเรียบซึ่งกำหนดให้ความเค้นข้านกับรอยแตกมีค่าคงที่

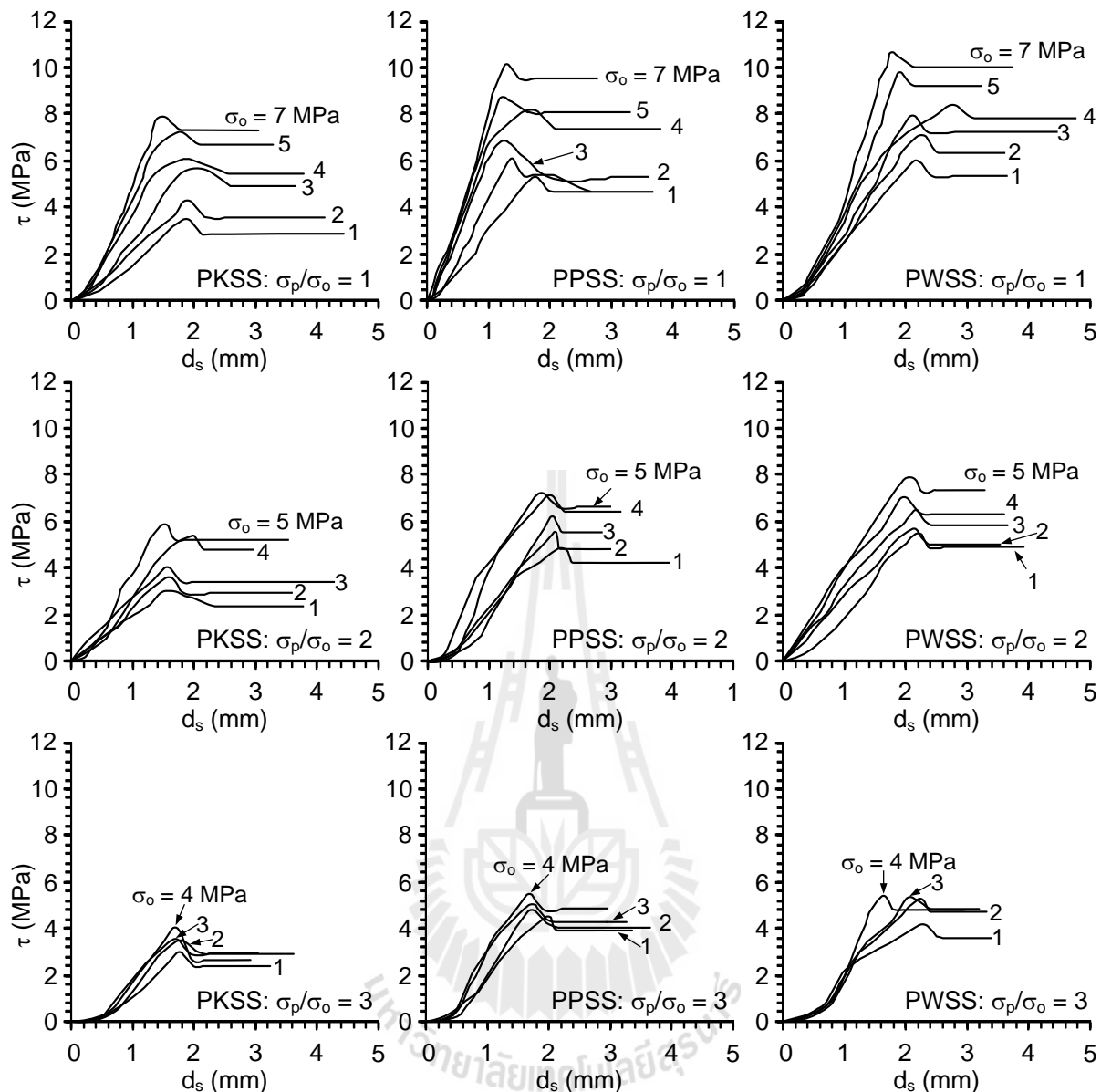
##### 5.1.1 ผลการทดสอบกำลังรับแรงเฉือนในสามแgnจริงบนรอยแตกผิวชุขระ (กรณีที่ผันแปรอัตราส่วนของค่าความเค้นข้านกับรอยแตกต่อค่าความเค้นบนรอยแตก ( $\sigma_p/\sigma_0$ ))

การทดสอบชุดนี้ได้กำหนดให้อัตราส่วนระหว่างค่าความเค้นที่ข้านกับรอยแตกและค่าความเค้นบนรอยแตกมีค่าเท่ากับ 0, 0.5, 1, 2, 3 และ 4 MPa ในตารางที่ 5.1 แสดงผลการทดสอบค่ากำลังรับแรงเฉือนของหินทรายหักสามชนิด รูปที่ 5.1 แสดงค่ากำลังเฉือนสูงสุดในรูปแบบของการเคลื่อนตัวในแนวการเฉือน ( $d_s$ ) สำหรับตัวอย่างหินทรายบางส่วนที่ใช้ในการทดสอบ รูปที่ 5.2 แสดงความสัมพันธ์ระหว่างค่าการเคลื่อนตัวของรอยแตกในแนวตั้งฉาก ( $d_n$ ) และค่าการเคลื่อนตัวในแนวเฉือน ( $d_s$ )

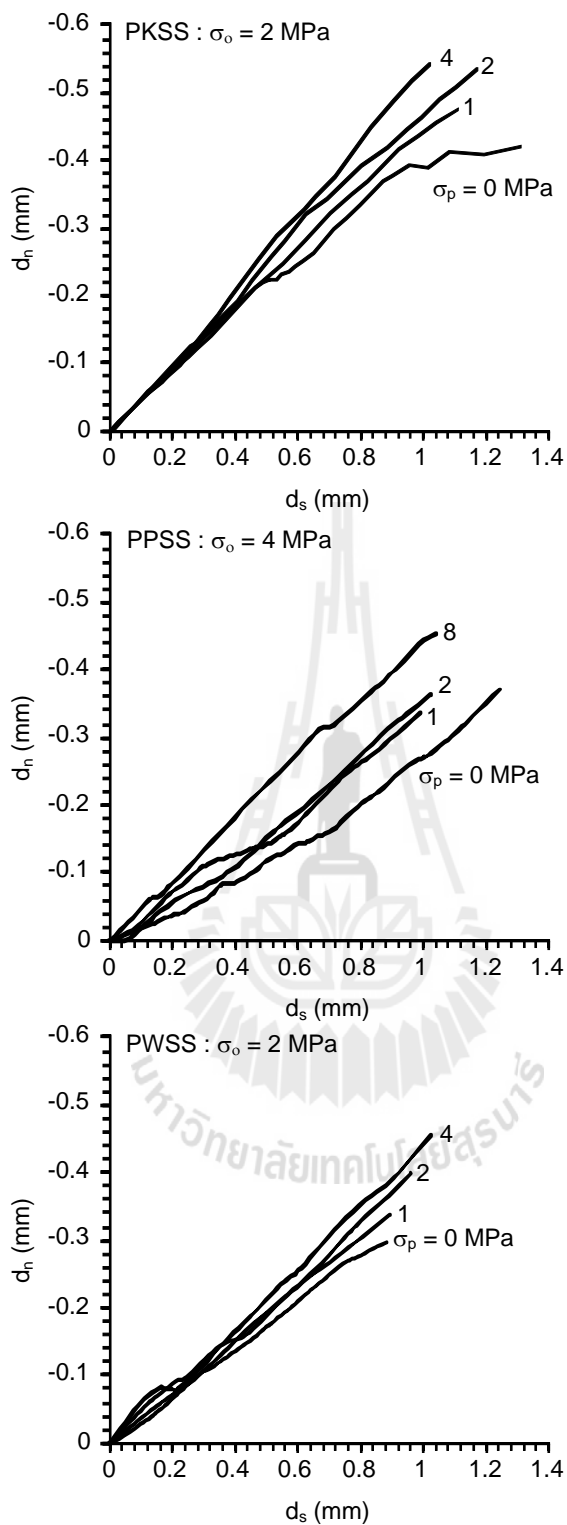
ค่าความเค้นหลักในแนวแกน (สอดคล้องกับค่ากำลังรับแรงเฉือนสูงสุด) สามารถแสดงในรูปความสัมพันธ์ระหว่างค่าความเค้นที่ข้านกับรอยแตกซึ่งเป็นกรณีที่มีการผันแปรอัตราส่วนค่าความเค้นที่ข้านกับรอยแตกต่อค่าความเค้นที่อยู่บนรอยแตกดังแสดงในรูปที่ 5.3 จากนั้นนำค่าความเค้นหลักในแนวแกนจากรูปที่ 5.3 มาใช้ในการคำนวณค่ากำลังรับแรงเฉือนสูงสุดในรูปของความสัมพันธ์ระหว่างค่าความเค้นตั้งฉากดังแสดงในรูปที่ 5.4 ซึ่งจากความสัมพันธ์ของการผันแปรอัตราส่วนค่าความเค้นข้านกับรอยแตกหารด้วยค่าความเค้นบนรอยแตก ( $\sigma_p/\sigma_0$ ) กับค่ามุมเสียดทานในรูปที่ 5.4 สามารถนำไปสู่การพัฒนาสมการต่อไป

ตารางที่ 5.1 ผลการทดสอบค่ากำลังรับแรงเฉือนในกรณีที่ผันแปรอัตราส่วน ( $\sigma_p/\sigma_o$ )

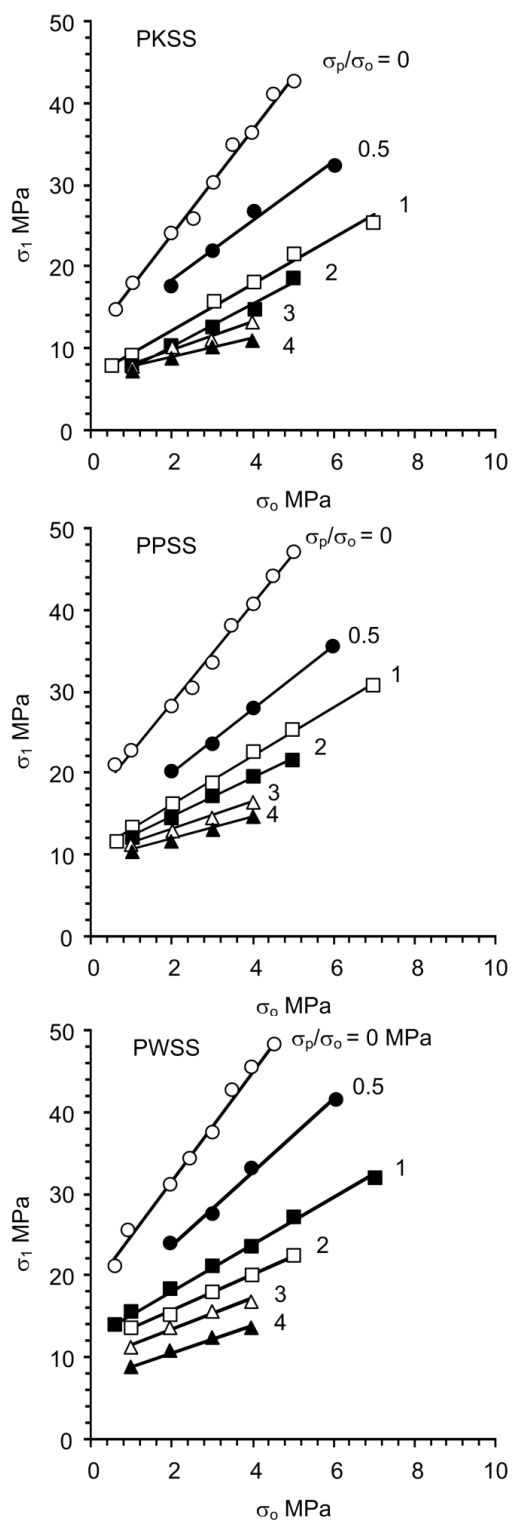
$\sigma_p/\sigma_o$	$\sigma_p$ (MPa)	$\sigma_o$ (MPa)	PKSS			PPSS			PWSS		
			$\sigma_1$ (MPa)	$\sigma_n$ (MPa)	$\tau$ (MPa)	$\sigma_1$ (MPa)	$\sigma_n$ (MPa)	$\tau$ (MPa)	$\sigma_1$ (MPa)	$\sigma_n$ (MPa)	$\tau$ (MPa)
0	0	0.6	14.83	4.16	6.16	21.10	5.72	8.88	20.92	5.68	8.80
	0	1	18.01	5.25	7.37	22.65	6.41	9.37	25.73	7.18	10.71
	0	2	24.21	7.55	9.62	28.01	8.50	11.26	30.79	9.20	12.47
	0	2.5	26.61	8.53	10.44	30.26	9.44	12.01	34.11	10.40	13.69
	0	3	30.26	9.81	11.83	33.56	10.59	13.15	37.67	11.67	15.01
	0	3.5	34.90	11.35	13.59	37.96	12.11	14.92	42.78	13.32	17.00
	0	4	36.43	12.11	14.04	39.49	12.87	15.37	45.60	14.40	18.01
	0	4.5	41.01	13.63	15.81	41.81	13.82	16.16	48.67	15.54	19.13
	0	5	42.54	14.38	16.25	44.07	14.77	16.92	51.05	16.51	19.94
0.5	1	2	17.53	5.88	6.73	20.21	6.55	7.89	24.03	7.51	9.54
	1.5	3	22.00	7.75	8.23	23.42	8.11	8.84	27.15	9.04	10.46
	2	4	27.14	9.79	10.02	27.89	9.97	10.34	33.19	11.29	12.64
	3	6	32.20	12.55	11.35	35.46	13.37	12.76	41.45	14.86	15.35
1	0.6	0.6	7.69	2.37	3.07	11.58	3.34	4.75	13.40	3.80	5.54
	1	1	8.98	3.00	3.46	13.27	4.07	5.31	14.78	4.45	5.97
	2	2	11.92	4.48	4.30	16.12	5.53	6.11	18.41	6.10	7.10
	3	3	15.94	6.24	5.60	18.70	6.93	6.80	21.32	7.57	7.93
	4	4	18.11	7.52	6.11	22.56	8.64	8.04	23.36	8.84	8.38
	5	5	21.72	9.18	7.24	25.22	10.06	8.76	27.69	10.67	9.83
	7	7	25.15	11.54	7.86	30.54	12.88	10.19	31.61	13.15	10.66
2	2	1	7.91	2.73	2.99	12.15	3.79	4.83	13.78	4.20	5.54
	4	2	10.23	4.05	3.56	14.71	5.18	5.55	15.22	5.30	5.72
	6	3	12.38	5.35	4.06	17.32	6.58	6.20	17.98	6.75	6.49
	8	4	14.80	6.70	4.67	19.47	7.87	6.70	20.12	8.03	6.97
	10	5	18.66	8.41	5.91	21.49	9.12	7.14	22.37	9.34	7.52
3	3	1	7.85	2.71	2.97	11.35	3.59	4.48	10.62	3.40	4.16
	6	2	10.02	4.00	3.47	13.12	4.78	4.81	14.23	5.06	5.29
	9	3	11.22	5.06	3.56	14.66	5.91	5.05	15.54	6.13	5.43
	12	4	13.24	6.31	4.00	16.61	7.15	5.46	16.51	7.13	5.45
4	4	1	7.43	2.61	2.79	10.59	3.40	4.15	8.68	2.92	3.33
	8	2	9.03	3.76	3.04	11.82	4.45	4.25	10.73	4.18	3.78
	12	3	10.12	4.78	3.08	13.24	5.56	4.44	12.15	5.29	3.96
	16	4	11.11	5.78	3.08	14.59	6.65	4.58	13.57	6.39	4.15



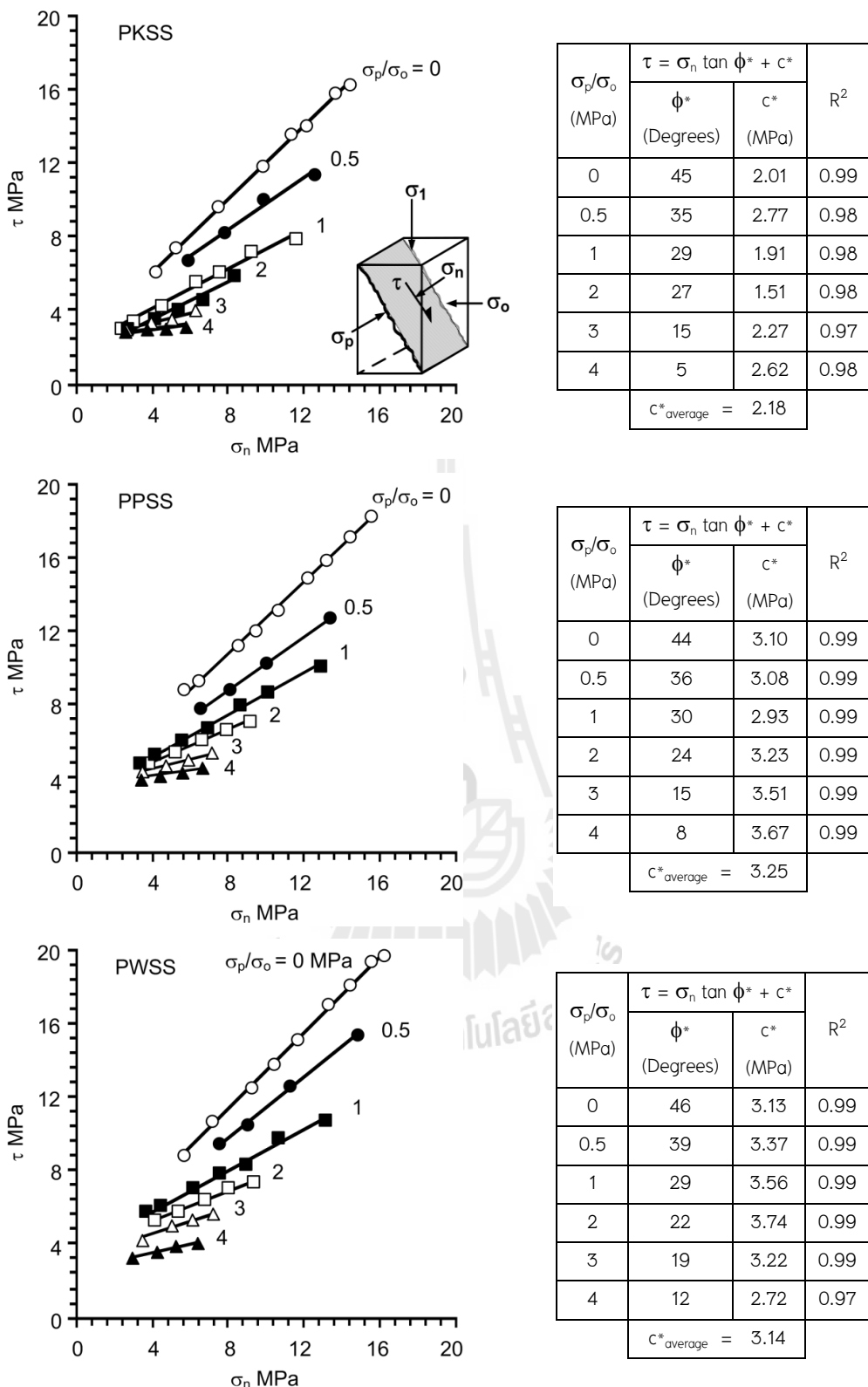
รูปที่ 5.1 ค่ากำลังรับแรงเฉือนสูงสุดในรูปแบบของค่าการเคลื่อนตัวในแนวการเฉือนในบางอัตราส่วน ( $\sigma_p/\sigma_o$ ) สำหรับหินทรายทึ้งสามชนิด



รูปที่ 5.2 ค่าการเคลื่อนตัวของรอยแตกในแนวตั้งจาก ( $d_n$ ) ต่อการเคลื่อนตัวในแนวเฉือน ( $d_s$ )  
 สำหรับตัวอย่างหินทรายบางส่วน



รูปที่ 5.3 ค่าความเค้นหลักในแนวแกนในรูปแบบของค่าความเค้นบนรอยแตกผิวชุ่มระ



รูปที่ 5.4 ความสัมพันธ์ระหว่างค่ากำลังเฉือนสูงสุดและค่าความเค้นตั้งจากบันรอยแตกผิวชุกระสำหรับกรณีที่มีการผันแปรอัตราส่วน ( $\sigma_p/\sigma_o$ )

### 5.1.2 ผลการทดสอบกำลังรับแรงเฉือนในสามแเกนจริงบนรอยแตกผิวชุกรูระบะ (กรณีที่ค่าความเค้นข่านกับรอยแตก ( $\sigma_p$ ) มีค่าคงที่)

การทดสอบชุดนี้ได้กำหนดให้ค่าความเค้นข่านกับรอยแตกคงที่ที่สามระดับคือ 1, 2 และ 3 MPa ในขณะที่ค่าความเค้นบนรอยแตกผันแปรจาก 1.5-6 MPa ตารางที่ 5.2 แสดงผลการทดสอบค่ากำลังรับแรงเฉือนสำหรับหินทรายหักสามชนิด รูปที่ 5.5 ได้เสนอผลการทดสอบค่ากำลังรับแรงเฉือนในรูปแบบของค่าความเค้นตั้งจาก โดยจากการสัมพันธ์ของค่าความเค้นข่านกับรอยแตกคงที่กับค่าความเค้นยึดติดที่แสดงในรูปที่ 5.5 สามารถนำไปสู่การพัฒนาสมการต่อไป

### 5.1.3 ผลการทดสอบกำลังรับแรงเฉือนในสามแเกนจริงบนรอยแตกผิวเรียบ (กรณีที่ค่าความเค้นข่านกับรอยแตกมีค่าคงที่)

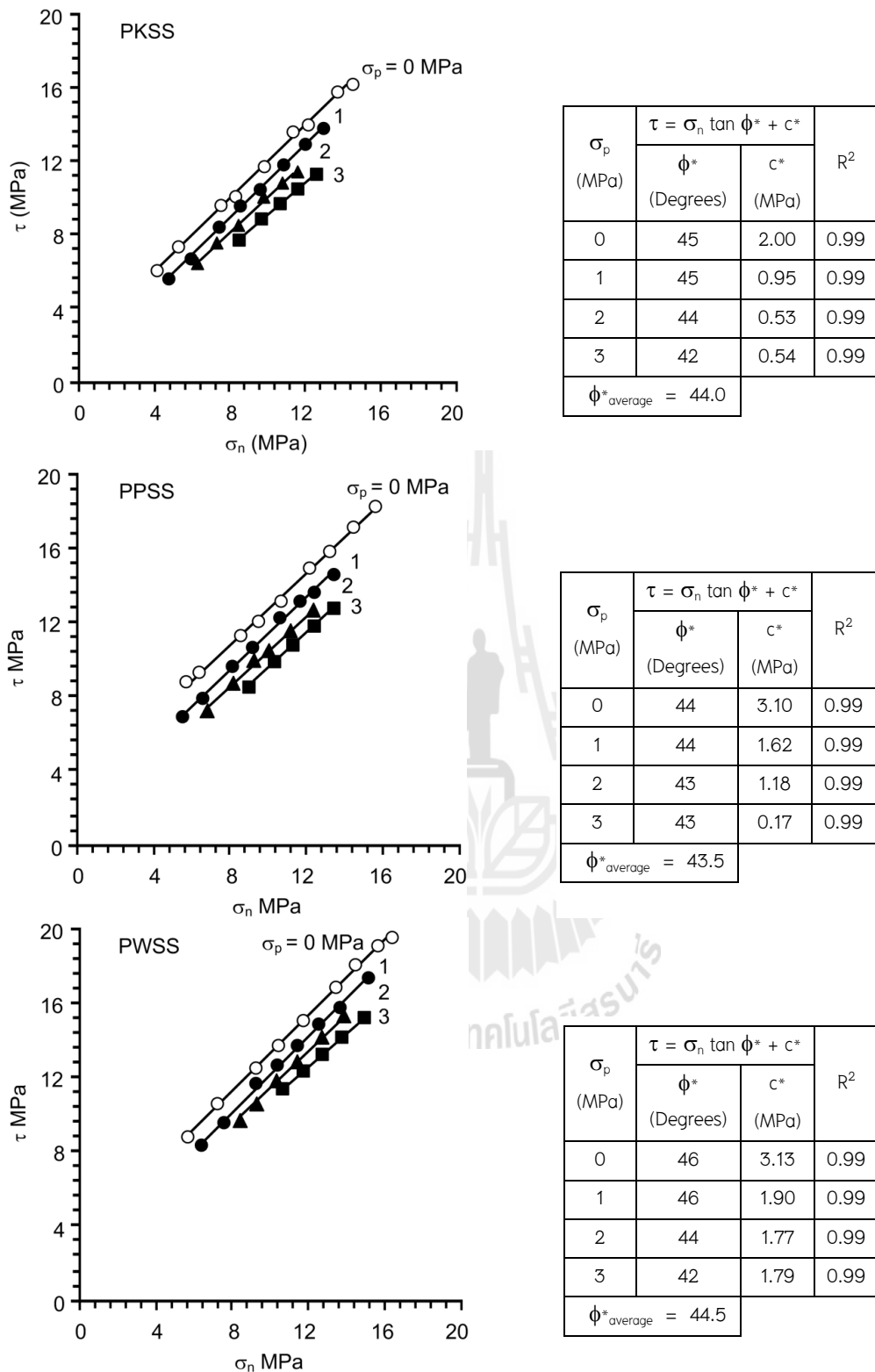
การทดสอบชุดนี้ได้กำหนดให้ค่าความเค้นข่านกับรอยแตกคงที่ที่สามระดับคือ 0, 1 และ 2 MPa ในขณะที่ค่าความเค้นบนรอยแตกผันแปรจาก 2-10 MPa รูปที่ 5.6 แสดงผลการทดสอบค่ากำลังรับแรงเฉือนในรูปแบบค่าความเค้นตั้งจาก โดยผลการทดสอบในชุดนี้ทำให้ทราบว่าค่าความเค้นล้อมรอบจะส่งผลกระทบต่อค่ากำลังรับแรงเฉือนเมื่อร้อยแตกนั้นเป็นรอยแตกชุกรูระบะ แต่ถ้ารอยแตกนั้นเป็นรอยแตกผิวเรียบค่าความเค้นล้อมรอบจะไม่ส่งผลกระทบต่อค่ากำลังรับแรงเฉือน

## 5.2 ผลการทดสอบกำลังรับแรงเฉือนแบบโดยตรง

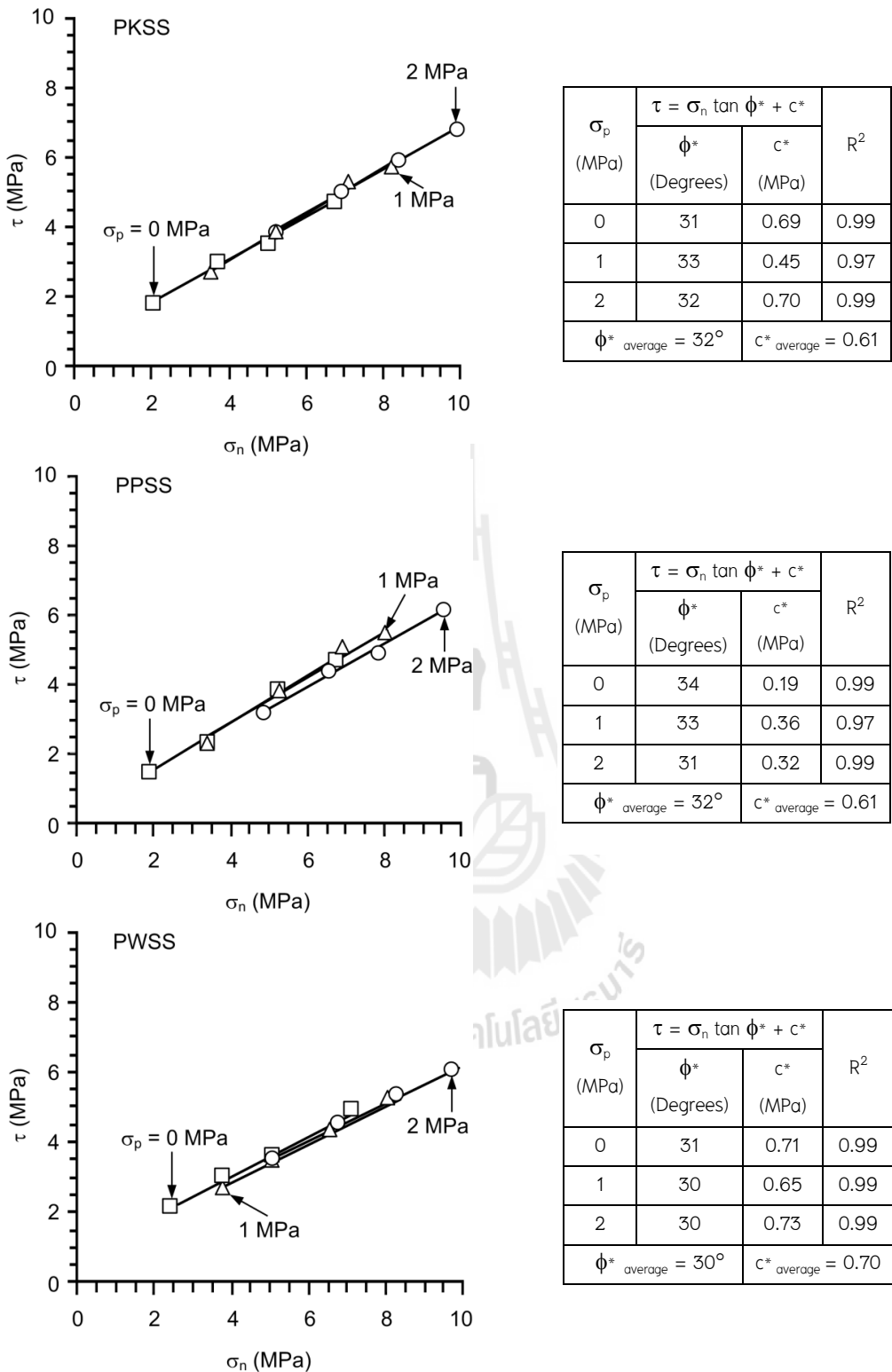
การทดสอบกำลังรับแรงเฉือนแบบโดยตรงได้กำหนดให้ค่าความเค้นตั้งจากมีค่าคงที่ที่สี่ระดับคือ 1, 2, 3 และ 4 MPa รูปที่ 5.7 แสดงค่ากำลังรับแรงเฉือนและค่าการเคลื่อนตัวของรอยแตกในรูปแบบของค่าการเคลื่อนตัวในแนวการเฉือน ผลการทดสอบชุดนี้ใช้เปรียบเทียบกับการทดสอบกำลังรับแรงเฉือนในสามแเกนจริงในกรณีที่ความเค้นข่านกับรอยแตกมีค่าเป็นศูนย์ซึ่งแสดงไว้ในรูปที่ 5.8

ตารางที่ 5.2 ผลการทดสอบค่ากำลังรับแรงเนื่องบนรอยแตกผิวชุราชกรณีที่  $\sigma_p$  คงที่

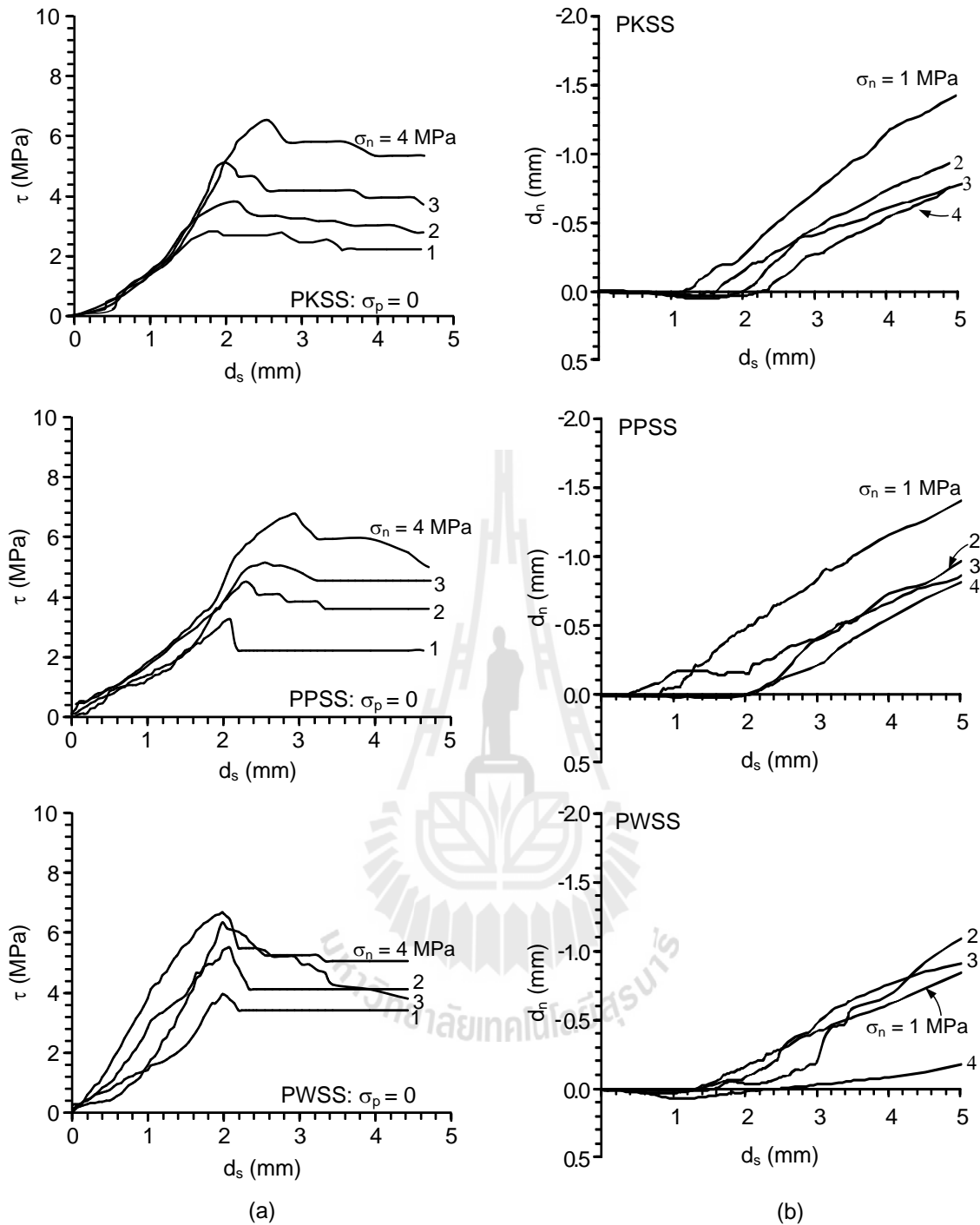
$\sigma_p$ (MPa)	$\sigma_o$ (MPa)	PKSS			PPSS			PWSS		
		$\sigma_1$ (MPa)	$\sigma_n$ (MPa)	$\tau$ (MPa)	$\sigma_1$ (MPa)	$\sigma_n$ (MPa)	$\tau$ (MPa)	$\sigma_1$ (MPa)	$\sigma_n$ (MPa)	$\tau$ (MPa)
1	1.5	14.52	4.75	5.64	17.50	5.50	6.93	20.78	6.32	8.35
	2	17.53	5.88	6.73	20.21	6.55	7.89	24.03	7.51	9.53
	2.5	22.17	7.41	8.52	24.80	8.07	9.66	29.21	9.18	11.57
	3	25.25	8.56	9.63	27.53	9.13	10.62	32.20	10.30	12.64
	3.5	27.86	9.59	10.55	31.78	10.57	12.25	35.07	11.40	13.67
	4	31.35	10.84	11.84	34.41	11.60	13.17	37.92	12.48	14.69
	4.5	34.41	11.98	12.95	35.95	12.36	13.62	40.79	13.57	15.72
	5	36.86	12.97	13.80	38.50	13.38	14.51	45.12	15.03	17.37
2	2.5	17.14	6.16	6.34	19.35	6.71	7.29	24.86	8.09	9.68
	3	20.34	7.33	7.51	23.34	8.09	8.81	27.89	9.22	10.78
	3.5	23.34	8.46	8.59	26.39	9.22	9.91	30.42	10.23	11.66
	4	27.14	9.79	10.02	27.89	9.97	10.34	33.19	11.30	12.64
	4.5	29.39	10.72	10.77	30.96	11.11	11.46	37.09	12.65	14.11
	5	31.45	11.61	11.45	34.02	12.26	12.57	40.14	13.78	15.21
3	4	22.08	8.52	7.83	23.63	8.91	8.50	30.45	10.61	11.45
	4.5	25.11	9.65	8.93	27.61	10.28	10.00	33.17	11.67	12.41
	5	27.50	10.63	9.74	29.98	11.25	10.82	35.74	12.69	13.31
	5.5	29.61	11.53	10.44	32.85	12.34	11.84	38.25	13.69	14.18
	6	32.20	12.55	11.35	35.46	13.37	12.76	41.45	14.86	15.35



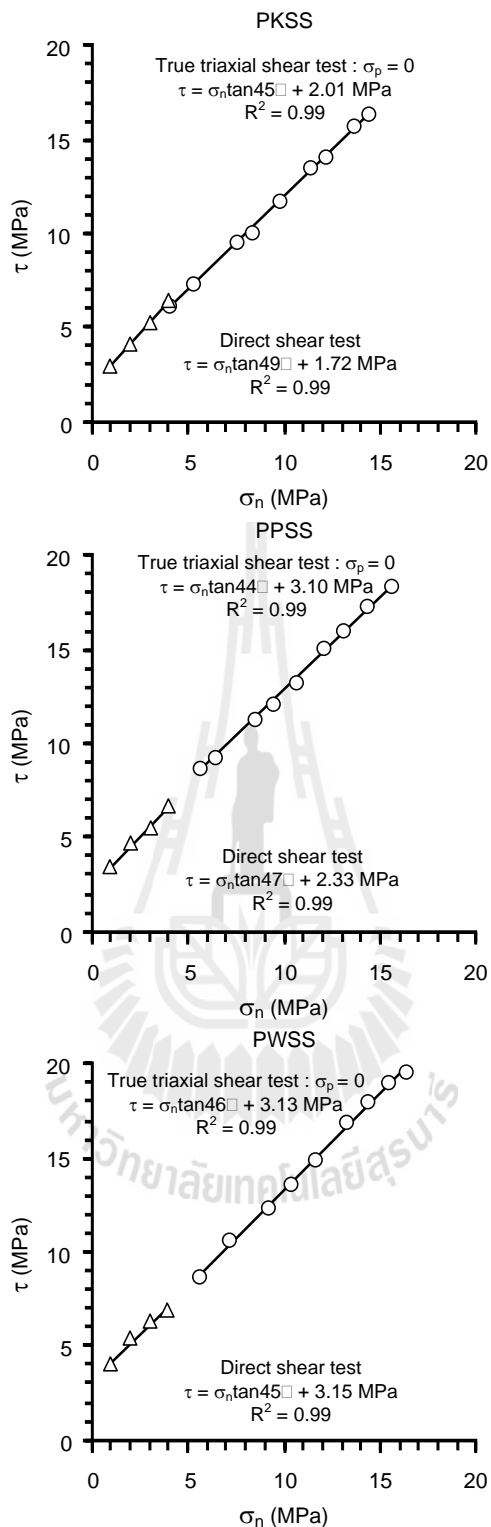
รูปที่ 5.5 ความสัมพันธ์ระหว่างค่ากำลังเฉือนสูงสุดและค่าความเค้นตั้งจากบันรองรอยแตกผิว  
ขรุขระกรณีที่  $\sigma_p$  มีค่าคงที่



รูปที่ 5.6 ผลการทดสอบกำลังรับแรงเฉือนในสามเกณจริงบนรอยแตกผิวเรียบสำหรับตัวอย่างหินทรายทั้งสามชนิด



รูปที่ 5.7 ผลการทดสอบกำลังรับแรงเฉือนแบบโดยตรง: (a) ค่ากำลังรับแรงเฉือน ในรูปแบบของค่า การเคลื่อนตัวของรอยแตก (b) ค่าการเคลื่อนตัวของ รอยแตกในรูปแบบของค่าการเคลื่อนตัวในแนวการเฉือน



รูปที่ 5.8 ผลการทดสอบกำลังรับแรงเฉือนแบบโดยตรงเปรียบเทียบกับการทดสอบกำลังรับแรงเฉือนในสามแกนจริงกรณีที่ความเค้นข้านานกับรอยแตกมีค่าเป็นศูนย์

## บทที่ 6

### การสร้างความสัมพันธ์ทางคณิตศาสตร์และการวิเคราะห์ผลการทดสอบ

เนื้อหาในบทนี้อธิบายการพัฒนาสมการและสร้างความสัมพันธ์ทางคณิตศาสตร์ของค่าความเค้นหลักและค่าความเค้นล้อมรอบ ค่ากำลังเฉือนสูงสุดและค่าความเค้นตั้งฉาก โดยความสัมพันธ์เหล่านี้จะนำไปสู่การพัฒนาเกณฑ์กำลังรับแรงเฉือนใหม่ที่ได้คำนึงถึงผลกระทบของค่าความเค้นล้อมรอบที่กระทำต่อรอยแตกหิน

#### 6.1 การคำนวณค่ากำลังรับแรงเฉือนและค่าความเค้นตั้งฉาก

การทดสอบกำลังเฉือนในสามแกนจริงทั้งกรณีที่ค่าความเค้นขนาดกับรอยแตกเป็นสัดส่วนกับค่าความเค้นบนรอยแตก และในกรณีที่ค่าความเค้นขนาดกับรอยแตกมีค่าคงที่สามารถคำนวณค่ากำลังเฉือนและค่าความเค้นตั้งฉากได้จาก (Jaeger et al., 2007)

$$\tau = \frac{1}{2} (\sigma_1 - \sigma_o) \sin 2\beta \quad (6.1)$$

$$\sigma_n = \frac{1}{2} (\sigma_1 + \sigma_o) + \frac{1}{2} (\sigma_1 - \sigma_o) \cos 2\beta \quad (6.2)$$

โดยที่

$\sigma_1$  คือ ความเค้นหลักในแนวแกน

$\sigma_o$  คือ ความเค้นล้อมรอบ

$\beta$  คือ มุมระหว่างความเค้นหลักในแนวแกนกับความเค้นตั้งฉาก โดยตัวอย่างหินทรายที่ใช้ในการทดสอบมีค่ามุ่งเท่ากับ  $59.1^\circ$  ทุกตัวอย่าง

#### 6.2 การคำนวณจากการทดสอบกำลังรับแรงเฉือนโดยที่ค่าความเค้นขนาดกับรอยแตกต่อค่าความเค้นบนรอยแตกคงที่

การทดสอบชุดนี้สามารถคำนวณค่ากำลังเฉือนสูงสุดจากอัตราส่วนค่าความเค้นล้อมรอบที่  $0, 0.5, 1, 2, 3$  และ  $4 \text{ MPa}$  โดยที่อัตราส่วนค่าความเค้นขนาดกับรอยแตกต่อค่าความเค้นบนรอยแตกที่มีค่าเท่ากับ  $0$  และ  $1$  เทียบได้กับการทดสอบกำลังรับแรงเฉือนแบบโดยตรงและการทดสอบกำลังรับแรงเฉือนในสามแกน (Triaxial shear tests) สำหรับการคำนวณค่าการเคลื่อนตัวในแนวเฉือน ( $d_s$ ) และการเคลื่อนตัวของรอยแตก ( $d_o$ ) สามารถคำนวณได้จาก

$$d_s = \frac{1}{2} (d_1 - d_o) \sin 2\beta \quad (6.3)$$

$$d_n = \frac{1}{2} (d_1 + d_o) + \frac{1}{2} (d_1 - d_o) \cos 2\beta \quad (6.4)$$

โดยที่

$d_1$  คือ การเคลื่อนตัวในแนวแกนที่ตรวจวัดขณะทำการทดสอบ

$d_o$  คือ การเคลื่อนตัวในทิศทางของค่าความเค้นบันรอยแตกที่ตรวจวัดขณะทำการทดสอบ

ค่าความเค้นหลักในแนวแกนมีความสัมพันธ์กับค่ากำลังรับแรงเฉือนสูงสุด และสามารถแสดงผลในรูปแบบของความเค้นตั้งจากดังแสดงในรูปที่ 6.1 โดยยึดเกณฑ์ความสัมพันธ์เชิงเส้นของคุณลักษณะเพื่อใช้เป็นตัวแทนของค่ากำลังเฉือนสูงสุดภายใต้การผันแปรอัตราส่วนค่าความเค้นขนานกับรอยแตกต่อค่าความเค้นบันรอยแตก ดังสมการ

$$\tau = \sigma_n \tan (\phi^*) + c^* \quad (6.5)$$

โดยที่

$\phi^*$  คือ ค่ามุมเสียดทานปรากฏ (Apparent friction angle)

$c^*$  คือ ค่าความเค้นยึดติดปรากฏ (Apparent cohesion)

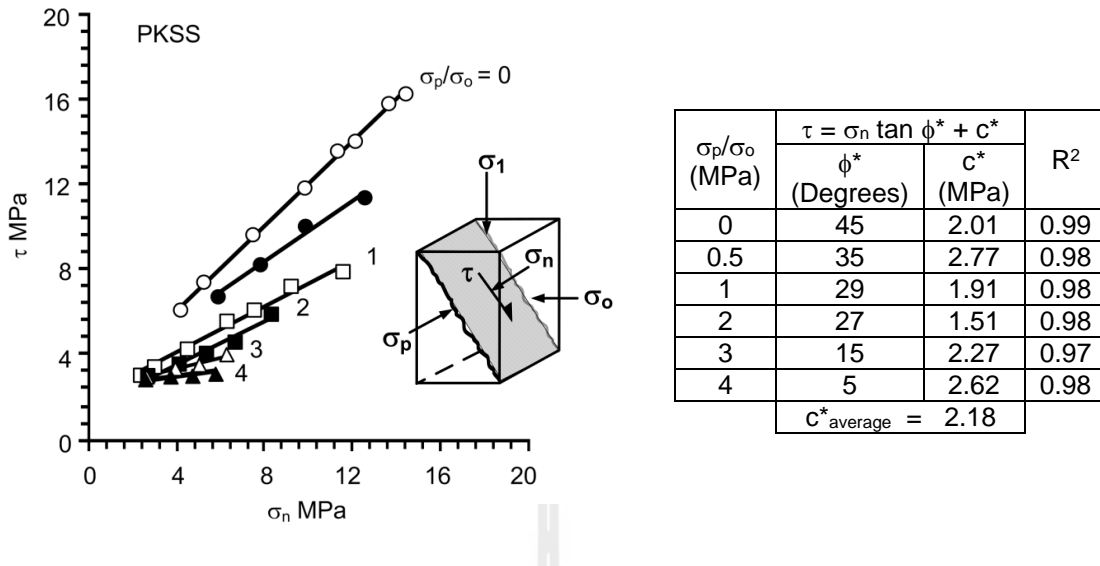
การกำหนดตัวแปรใหม่เป็น  $\phi^*$  และ  $c^*$  เพื่อหลีกเลี่ยงความสับสนของค่ามุมเสียดทาน และค่าความเค้นยึดของการทดสอบกำลังรับแรงเฉือนแบบโดยตรง โดยสมการที่ 6.5 ใช้สำหรับพิทักษ์อนุลักษณ์ที่ได้จากการทดสอบในรูปแบบของค่ากำลังเฉือนสูงสุดกับค่าความเค้นตั้งจากที่แสดงไว้ในรูปที่ 6.1 จากผลการทดสอบหินทรายทุกชนิดในกรณีที่อัตราส่วนค่าความเค้นขนานกับรอยแตกต่อค่าความเค้นบันรอยแตกคงที่ซึ่งแสดงให้เห็นว่า  $\phi^*$  จะมีค่าเพิ่มขึ้นก็ต่อเมื่ออัตราส่วนค่าความเค้นขนานกับรอยแตกต่อค่าความเค้นบันรอยแตกเพิ่มขึ้น จากความสัมพันธ์ดังกล่าวสามารถอธิบายได้ด้วยสมการเอกซ์โพเนนเชียลดังแสดงในรูปที่ 6.2

$$\phi^* = \alpha \exp [-\kappa(\sigma_p/\sigma_o)] \quad (6.6)$$

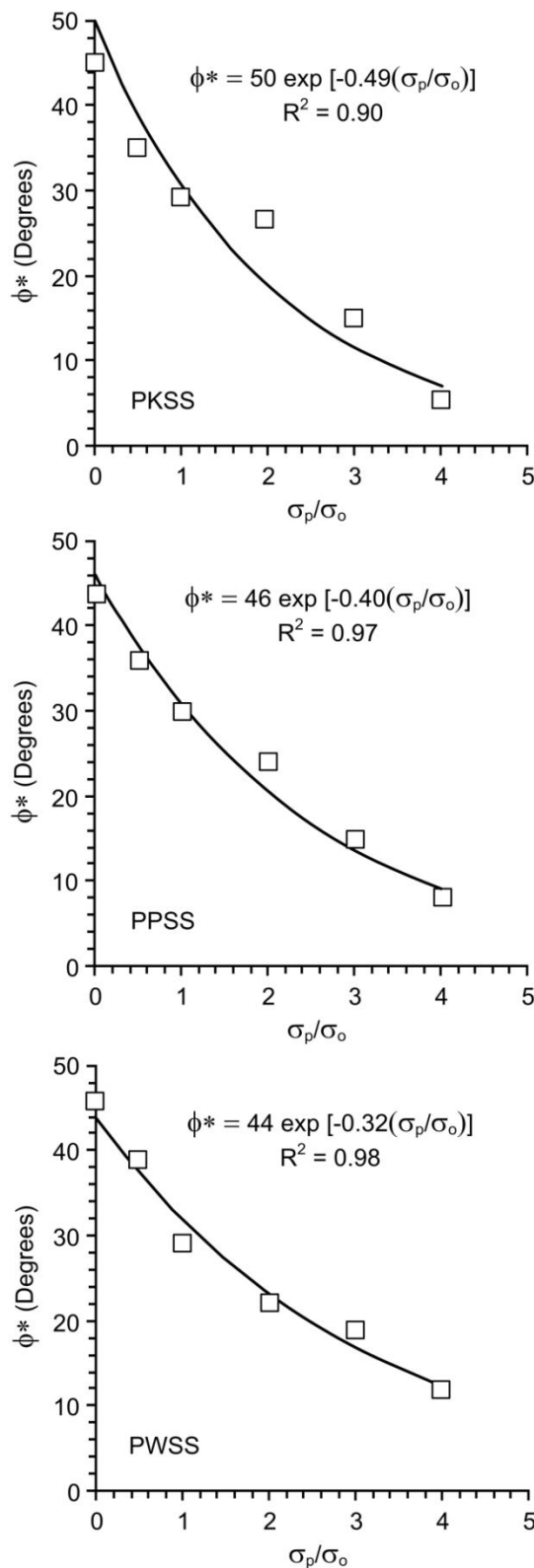
โดยที่

$\alpha$  และ  $\kappa$  คือค่าคงที่ที่ได้จากการทดสอบ

ค่าความเค้นยึดติดปรากฏที่ได้จากการทดสอบนี้มีแนวโน้มที่ไม่เข้ากับอัตราส่วนระหว่างค่าความเค้นที่ขนานกับรอยแตกและค่าความเค้นบันรอยแตก โดยมีค่าเฉลี่ยเท่ากับ 2.18, 2.96 และ 3.14 MPa สำหรับหินทรายชุดภูกระดึง ภูพาน และพระวิหาร ตามลำดับ



รูปที่ 6.1 ผลการทดสอบกำลังรับแรงเฉือนในสามแกนจริงโดยที่อัตราส่วนระหว่างค่าความเค้นที่ข้านกับรอยแตกและค่าความเค้นบนรอยมีค่าคงที่สำหรับหินทรายชุดนี้



รูปที่ 6.2 ค่ามุมเสียดทานปรากฏ ( $\phi^*$ ) ในรูปแบบของอัตราส่วนค่าความเค้นที่ข่านกับรอยแตกหารด้วยค่าความเค้นบนรอยแตก ( $\sigma_p/\sigma_o$ )

### 6.3 การคำนวณจากการทดสอบกำลังรับแรงเฉือนโดยที่ค่าความเค้นข่านกับรอยแตกคงที่

การทดสอบชุดนี้กำหนดให้ค่าความเค้นที่ข่านกับรอยแตกมีค่าคงที่ 3 ระดับ คือ 1, 2 และ 3 MPa ขณะที่ค่าความเค้นบนรอยแตกผันแปรจาก 1.5 ถึง 6 MPa รูปที่ 6.3 แสดงผลของค่ากำลังรับแรงเฉือนสูงสุดในรูปแบบของค่าความเค้นตั้งจาก และเพื่อเป็นการเปรียบเทียบกับการทดสอบกำลังรับแรงเฉือนในสามแกนจริงที่ค่าความเค้นข่านกับรอยแตกมีค่าเท่ากับศูนย์ ( $\sigma_p=0$ ) ดังนั้นจึงได้แสดงผลการทดสอบนี้ไว้ในรูปที่ 6.3 ด้วย จากการทดสอบชุดนี้ทำให้พบว่าค่าความเค้นล้อมรอบ (ค่าความเค้นข่านกับรอยแตก) มีผลทำให้ค่ากำลังรับแรงเฉือนลดลง และความสัมพันธ์เชิงเส้นระหว่างค่ากำลังรับแรงเฉือนกับค่าความเค้นตั้งจากที่ได้สำหรับทุกระดับของความเค้นข่านกับรอยแตกสามารถอธิบายได้จากสมการ (6.3) ค่ามุมเสียดทานปราภูมิแนวโน้มที่จะไม่เข้าต่อค่าความเค้นข่านกับรอยแตก ในขณะที่ค่าความเค้นยึดติดปราภูมิลดลงเมื่อค่าความเค้นข่านกับรอยแตกเพิ่มขึ้น

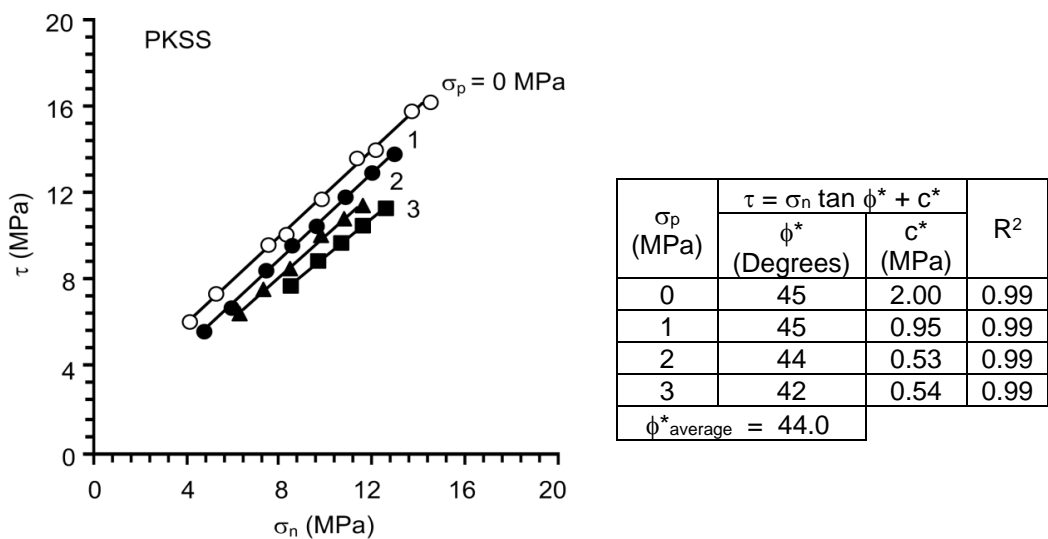
$$c^* = \psi \exp [-\xi (\sigma_p)] \quad (6.7)$$

โดยที่  $\psi$  และ  $\xi$  คือค่าคงที่ที่ได้จากการทดสอบ

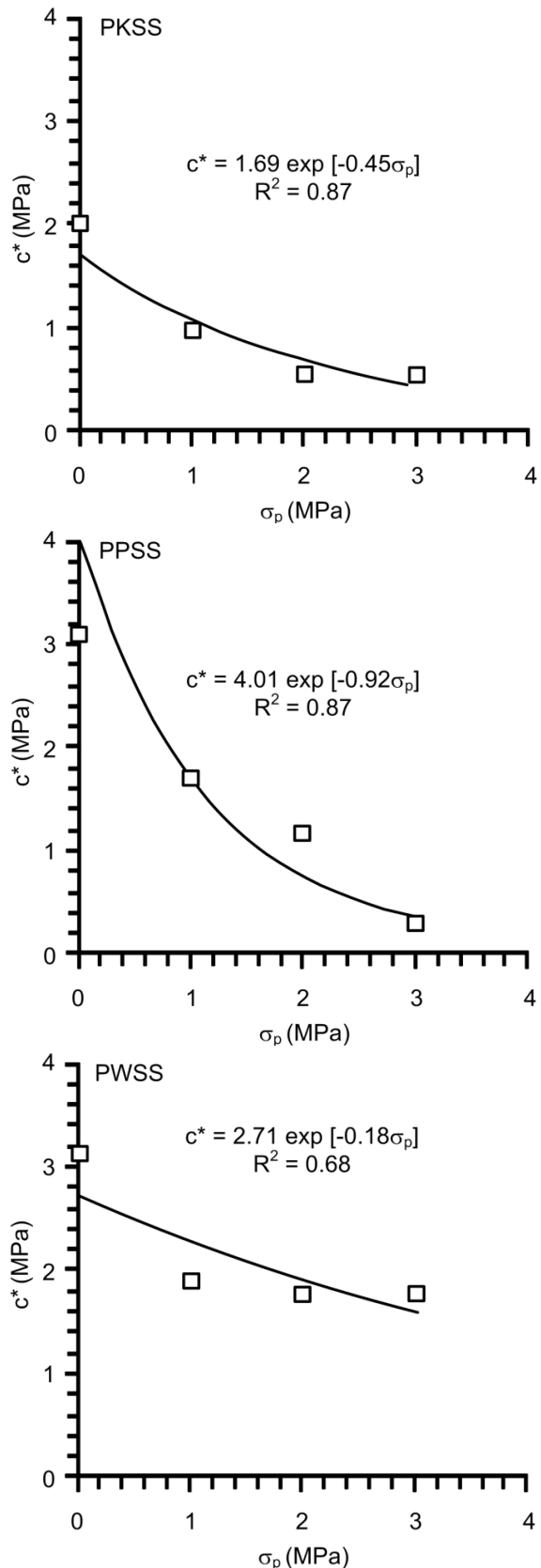
ค่าตัวเลขได้จากการวิเคราะห์ย้อนกลับจากรูปที่ 6.4 และค่ามุมเสียดทานปราภูมิจากการทดสอบกำลังรับแรงเฉือน โดยที่ค่าความเค้นข่านกับรอยแตกคงที่มีค่าเฉลี่ยอยู่ที่  $44^\circ$ ,  $43^\circ$  และ  $44^\circ$  สำหรับหินทรายชุดภูกระดึง ภูพาน และพระวิหารตามลำดับ

เมื่อทำการแทนค่าสมการที่ (6.6) และ (6.7) ในสมการที่ (6.5) ทำให้ได้ความสัมพันธ์ของสมการกำลังรับแรงเฉือนที่พิจารณาค่าความเค้นล้อมรอบดังนี้

$$\tau = \sigma_n \tan \{\alpha \exp [-\kappa(\sigma_p/\sigma_o)]\} + \psi \exp [-\xi (\sigma_p)] \quad (6.8)$$



รูปที่ 6.3 ผลการทดสอบกำลังรับแรงเฉือนในสามแกนจริงโดยที่ค่าความเค้นที่ข้านกับรอยแตกมีค่าคงที่สำหรับทินทรารายชุดภูกระดึง



รูปที่ 6.4 ความสัมพันธ์ระหว่างค่าความเค้นยึดติดปราภูและค่าความเค้นข่านกับร้อยละที่มีค่าคงที่

## 6.4 การคำนวณจากการทดสอบกำลังรับแรงเฉือนโดยที่ค่าความเค้นข่านกับรอยแตกคงที่ (กรณีที่ผิวรอยแตกเรียบ)

การทดสอบชุดนี้ได้ดำเนินการเพื่อศึกษาผลกระทบของค่าความเค้นข่านกับรอยแตกต่อค่าความต้านทานกำลังรับแรงเฉือนบนตัวอย่างหินที่มีรอยแตกเรียบ (Smooth saw-cut surfaces) การทดสอบและการคำนวณได้ดำเนินการเช่นเดียวกับการทดสอบกำลังรับแรงเฉือนในสามแคนจริงบนตัวอย่างที่มีรอยแตกชุรุขระ ค่าความเค้นที่ข่านกับรอยแตกมีค่าคงที่ และมีการผันแปรค่าความเค้นข่านกับรอยแตก 3 ระดับ คือ 1, 2 และ 3 MPa ขณะที่ค่าความเค้นบนรอยแตกผันแปรจาก 2 ถึง 10 MPa โดยที่ผลการทดสอบสามารถสร้างความสัมพันธ์ในลักษณะเชิงเส้นซึ่งสามารถอธิบายด้วยสมการ (6.5) ค่ากำลังต้านทานแรงเฉือนสำหรับการทดสอบชุดนี้ของหินรายหัก 3 ชนิด (ดังได้แสดงในบทที่ 5) มีแนวโน้มที่ไม่ขึ้นต่อค่าความเค้นที่ข่านกับรอยแตก สามารถสังเกตได้จากค่ามุมเสียดทานปราภูมิและค่าความเค้นยึดติดปราภูมิที่มีค่าใกล้เคียงกันเมื่อค่าความเค้นที่ข่านกับรอยแตกมีค่าแตกต่างกัน ดังนั้นผลการทดสอบชุดนี้สามารถตั้งสมมติฐานได้ว่าค่าความเค้นที่ข่านกับรอยแตกสามารถส่งผลกระทบต่อความชุรุขระและความแข็งของผนังรอยแตกของตัวอย่างหินรายหักสามชนิด

## 6.5 การคำนวณผลจากการทดสอบกำลังรับแรงเฉือนแบบโดยตรง

การทดสอบกำลังรับแรงเฉือนแบบโดยตรงได้ดำเนินการกับตัวอย่างที่มีรอยแตกชุรุขระเพื่อทำการเปรียบเทียบกับการทดสอบกำลังรับแรงเฉือนในสามแคนจริง สำหรับการทดสอบกำลังรับแรงเฉือนในสามแคนจริงทั้งค่าความเค้นตั้งจากและค่ากำลังรับแรงเฉือนมีค่าเพิ่มขึ้นเมื่อทำการเพิ่มค่าความเค้นในแนวแกน แต่สำหรับการทดสอบกำลังรับแรงเฉือนแบบโดยตรง ความเค้นตั้งจะจะมีค่าคงที่ในขณะทำการทดสอบ การทดสอบและการคำนวณผลการทดสอบกำลังรับแรงเฉือนแบบโดยตรงได้ดำเนินการตามมาตรฐาน ASTM (D5607-08) ค่าความเค้นตั้งจากที่ใช้ในการทดสอบกำลังรับแรงเฉือนแบบโดยตรงมีค่าต่ำกว่าที่ใช้ในการทดสอบกำลังรับแรงเฉือนในสามแคนจริง เนื่องจากความเค้นที่ให้ถูกจำกัดด้วยเครื่องทดสอบกำลังรับแรงเฉือนแบบโดยตรง และโครงกดทดสอบในสามแคนจริง ซึ่งค่าความเค้นตั้งจากสูงสุดของเครื่องทดสอบกำลังรับแรงเฉือนแบบโดยตรงคือ 4 MPa (สำหรับพื้นผิวรอยแตกขนาด  $100 \times 100 \text{ mm}^2$ ) ในขณะที่ค่าความเค้นตั้งจากต่ำสุดของโครงกดทดสอบในสามแคนจริงคือ 5 MPa

ค่ากำลังรับแรงเฉือนของตัวอย่างหินจากการทดสอบกำลังรับแรงเฉือนแบบโดยตรงที่ใช้เปรียบเทียบกับการทดสอบกำลังรับแรงเฉือนในสามแคนจริงเป็นกรณีที่ค่าความเค้นข่านกับรอยแตกมีค่าเป็นศูนย์และอยู่บนพื้นฐานกว้างเกณฑ์ของคูลอมบ์ ซึ่งจากการทดสอบของหัก 2 ชุด ให้ค่าความเค้นยึดติดและค่ามุมเสียดทานใกล้เคียงกัน โดยความแตกต่างที่เกิดขึ้นนี้อาจเป็นผลมาจากการแปรปรวนของคุณสมบัติภายในรอยแตกหิน (จากผลการทดสอบที่ได้แสดงในบทที่ 5) สำหรับการทดสอบกำลังรับแรง

เนื่องแบบโดยตรง การทดสอบกำลังรับแรงเฉือนในสามแกนจริงที่อยู่ภายใต้ค่าความเค้นตั้งฉาก และลักษณะการให้แรงที่แตกต่างกัน แต่ผลการทดสอบที่ได้มีความสอดคล้องกันเป็นอย่างดี

การกำหนดค่ากำลังเฉือนสูงสุดที่ได้จากการทดสอบทั้ง 2 ชุด ให้อยู่ในเงื่อนไขเดียวกันจะกระทำได้ต่อเมื่อค่าความเค้นที่ขنانกับรอยแตกมีค่าเป็นศูนย์ ( $\sigma_p=0$ ) ดังนั้นสมการ (6.6), (6.7) และ (6.8) สามารถลดรูปได้ดังนี้

$$\phi^* = \alpha \quad (6.9)$$

$$c^* = \psi \quad (6.10)$$

$$\tau = \sigma_n \tan \{ \alpha \} + \psi \quad (6.11)$$

เมื่ออยู่ภายใต้เงื่อนไขค่าความเค้นล้อมรอบเป็นศูนย์ ตัวแปร  $\alpha$  และ  $\psi$  ก็คือค่ามุมเสียดทานและค่าความเค้นยึดติดของรอยแตก ดังนั้นรูปแบบของสมการ (6.8) สามารถเขียนให้อยู่ในรูปแบบได้ดังนี้

$$\tau = \sigma_n \tan \{ \phi \cdot \exp [-\kappa(\sigma_p/\sigma_o)] \} + c \cdot \exp [-\xi(\sigma_p)] \quad (6.12)$$

สมการ (6.12) เป็นสมการที่สามารถยอมให้มีการเปลี่ยนค่ากำลังรับแรงเฉือนจากเงื่อนไขที่ไม่มีความเค้นล้อมรอบ ( $\sigma_p=0$ , Direct shear testing) ไปยังเงื่อนไขที่มีความเค้นล้อมรอบ ( $\sigma_p=0$ , True triaxial shear testing)

## บทที่ 7

### สรุปผลงานวิจัย

จากการศึกษาผลกราฟของความเค้นที่ข่านกับรอยแตกสามารถสรุปได้ว่า ค่าความเค้นข่านกับรอยแตกและตั้งฉากกับพิธีทางการเคลื่อนไหว สามารถลดค่าความเค้นยึดติดและค่ามุนเสียดทานของรอยแตกได้ ขนาดของค่าความเค้นที่ข่านกับรอยแตกที่เพิ่มขึ้นส่งผลให้เกิดพื้นที่ของการเคลื่อนไหวและการเคลื่อนตัวของรอยแตกสูงขึ้น โดยทั่วไปการลดลงของค่าความเค้นยึดติดของรอยแตกกับการเพิ่มขึ้นของค่าความเค้นล้อมรอบ (สำหรับกรณีของอัตราส่วนค่าความเค้นล้อมรอบ  $\sigma_p/\sigma_o = 1$ ) สามารถสังเกตได้จากผลการทดสอบของ Ramamurthy and Arora (1994) ซึ่งหมายความว่าค่ากำลังรับแรงเฉือนของรอยแตกจาก การทดสอบของ Ramamurthy and Arora (1994) ซึ่งหมายความว่าค่ากำลังรับแรงเฉือนแบบโดยตรง (ไม่มีค่าความเค้นล้อมรอบ) ไม่ใช่ตัวแทนที่แท้จริงของกำลังรับแรงเฉือนของรอยแตกหรือรอยเลื่อนภายใต้ความเครียดแบบulatory แกนของสภาวะในภาคสนาม

ผลการทดสอบสามารถตั้งสมมติฐานได้ว่าค่าความเค้นข่านกับรอยแตกสามารถก่อให้เกิดความเครียดดึงล้อมรอบ (การกระดก) ของความชรุขร้ายในการเปิดเผยของรอยแตกหิน ซึ่งความชรุขร้ายดังกล่าวสามารถเฉือนออกได้โดยง่ายเมื่อรอยแตกอยู่ภายใต้แรงเฉือน และด้วยเหตุนี้ทำให้ผลการทดสอบที่ได้มีค่าต้านทานแรงเสียดทานต่ำ โดยหลักฐานหนึ่งจากข้อเท็จจริงที่ว่าค่าความเค้นข่านกับรอยแตกไม่ส่งผลกระทบต่อค่ากำลังรับแรงเฉือนของพื้นผิวเรียบ ดังนั้นการลดลงของค่าความเค้นยึดติดและค่ามุนเสียดทานจึงมีความเป็นไปได้ว่าอาจขึ้นกับลักษณะของความชรุขร้าย สำหรับรอยแตกในหินชนิดอื่นๆ ซึ่งมีพื้นผิวของความชรุขร้ายและความแข็งที่แตกต่างกัน อาจส่งผลให้มุนเสียดทานที่สัมพันธ์กับค่าความเค้นที่ข่านกับรอยแตกต่างกันไป ความแตกต่างของเกณฑ์กำลังรับแรงเฉือนอาจจำเป็นต่อการอธิบายผลการทดสอบถ้าความสัมพันธ์ของค่ากำลังรับแรงเฉือนและค่าความเค้นตั้งฉากไม่ได้เป็นสมการเชิงเส้นตรง สำหรับหินประเภทอื่นรูปแบบของสมการที่แตกต่างออกไปอาจถูกใช้เพื่อเป็นตัวแทนความสัมพันธ์ระหว่างค่ามุนเสียดทานปรากฏและอัตราส่วนของค่าความเค้นล้อมรอบและความสัมพันธ์ระหว่างค่าความเค้นยึดติดปรากฏและค่าความเค้นข่านกับรอยแตก

รูปแบบสมการเอกซ์โพเนนเชียลที่ใช้มีข้อได้เปรียบที่ช่วยเปลี่ยนสภาวะของกำลังรับแรงเฉือนในกรณีที่ไม่มีความเค้นล้อมรอบ (การทดสอบกำลังรับแรงเฉือนแบบโดยตรง) ไปสู่สภาวะสามแgn จริง โดยความสัมพันธ์ที่นำเสนอด้วยข้อเท็จจริงของผลการทดสอบกำลังรับแรงเฉือนแบบโดยตรง และจากการทดสอบกำลังรับแรงเฉือนในสามแgn จริงภายใต้ความเค้นข่านรอยแตกมีค่าเป็นศูนย์ซึ่งมีความคล้ายคลึงกันมาก ซึ่งแสดงให้เห็นว่าสัดส่วนของการให้แรงมีผลกระทบอย่างมากต่อกำลังรับแรงเฉือนของรอยแตกของการทดสอบหินทราย สำหรับการทดสอบนี้รอยแตกหินส่วนใหญ่ที่ใช้มีความชรุขร้ายไม่มากนัก ( $JRC=6-8$ ) พื้นผิวของรอยแตกค่อนข้างเล็ก ( $76 \times 148 \text{ mm}^2$ ) ซึ่งพูดได้ในหินทรายทั้งสามชนิดที่มีคุณสมบัติเชิงกลที่คล้ายคลึงกัน และอยู่ภายใต้การให้ความเค้นในช่วงแคบๆ ในส่วนของการทดสอบ

เพิ่มเติมจำเป็นต้องมีการใช้ชนิดหินในการทดสอบและลักษณะของรอยแตกให้หลักหลาຍิ่งขึ้นเพื่อช่วยส่งเสริมการศึกษาผลกระทบความชรุขอของรอยแตก ขนาด (Fardin et al., 2001) และความแข็งของความชรุขอ (Yang et al., 2001) และความสัมพันธ์เหล่านี้ได้รวมไว้ในเกณฑ์กำลังรับแรงเนื้อนในสามแกนไม่เท่ากันตามที่ได้นำเสนอ



## បររាយអ្នករោម

- Alexeev, A.D., Revva, V.N., Bachurin, L.L. and Prokhorov, I. Y. (2008). The effect of stress state factor on fracture of sandstones under true triaxial loading. *International Journal of Fracture* 149 (1): 1-10.
- ASTM D5607-08. Standard test method for performing laboratory direct shear strength tests of rock specimens under constant normal force. In **Annual Book of ASTM Standards**, 04.08, Philadelphia: American Society for Testing and Materials.
- Barton, N. and Choubey V. (1977). The shear strength of rock joints in theory and practice. *Rock Mechanics and Rock Engineering* 10(1-2): 1-54.
- Barton, N. (1982). Shear strength investigations for surface mining. In **Proceedings of the International Conference on Surface mining**. pp. 171-196.
- Barton, N. R. and Bandis, S. C. (1990). Review of predictive capabilites of JRC-JCS model in engineering practice. In **Proceedings international symposium on rock joints**. Loen Norway, pp. 603-610.
- Barton N. R. (1997). The shear strength of rocks and rock joints. *International Journal of Rock Mechanics & Mining Sciences* 34: 255-279.
- Babanouri, N., Nasab, S. K., Baghbanan, A. and Mohamadi, H. R. (2011). Over-consolidation effect on shear behavior of rock joints. *International Journal of Rock Mechanics & Mining Sciences* 48(8): 1283-1291.
- Brady, B. H. G. and Brown, E. T. (2006). *Rock Mechanics for Underground Mining* (3rd. Edn.). Springer, Netherlands, 628 p.
- Fardin, N., Stephansson, O. and Jing, L. (2001). The scale dependence of rock joint surface roughness. *International Journal of Mechanics and Mining Sciences* 38: 659-669.
- Fuenkajorn, K. and Kemthong, R. (2007). Prediction of joint shear strengths of ten rock types using field-identified parameters. In **Proceedings of the First Thailand Symposium on Rock Mechanics**. September 13-14, 2007, Nakhonratchasima Thailand. pp. 195-210.

- Fuenkajorn, K. and Kenkhunthod, N. (2010). Influence of loading rate on deformability and compressive strength of three Thai sandstones. **Geotechnical and Geological Engineering** 28: 707-715.
- Grasselli, G. and Egger, P. (2003). Constitutive law for the shear strength of rock joints based on three-dimensional surface parameters. **International Journal of Rock Mechanics & Mining Sciences** 40(1): 25-40.
- Haimson, B. and Chang, C. (2000). A new true triaxial cell for testing mechanical properties of rock, and its use to determine rock strength and deformability of Westerly granite. **International Journal of Rock Mechanics & Mining Sciences** 37(1-2): 285-296.
- Jaeger, J. C., Cook, N. G. W. and Zimmerman, R. W. (2007). **Fundamentals of Rock Mechanics** (4th. Edn.). Malden, Blackwell Publishing, 475 p.
- Hoek E. and Brown E. (1997). Practical estimates of rock mass strength. **International Journal of Rock Mechanics & Mining Sciences** 34 (8): 1165-1186.
- Indraratna B. and Haque A. (2000). Shear Behaviour of Rock Joints. Rotterdam, Balkema.
- Kusumi, H., Teraoka, K. and Nishida, K. (1997). Study on new formulation of shear strength for irregular rock joints. **International Journal of Rock Mechanics & Mining Sciences** 34(3-4): 168.e1-168.e15.
- Ladanyi, B. and Archambault, G. (1970). Simulation of shear behavior of a jointed rock mass. In **Proceedings of the 11<sup>th</sup> Symposium of Rock Mechanics**. AIME, NewYork. pp. 105-125.
- Maksimovic, M. (1996). The shear strength components of a rough rock joint. **International Journal of Rock Mechanics and Mining Sciences & Geomechanics Abstracts** 33(8): 769-783.
- Mogi, K. (1971). Fracture and flow of rocks under high triaxial compression. **J. Geophys. Res.** 76: 1255–1269.
- Nadai, A. and (1950). **Theory of Flow and Fracture of Solids**. vol. 1. McGraw-Hill, New York. 572 p.

- Obcheoy, J., Aracheeploha, S. and Fuenkajorn, K. (2011). Fracture permeability under normal and shear stresses. In **Proceedings of the Third Thailand Symposium on Rock Mechanics.** March 10-11, 2011, Cha-Am Beach, Thailand. pp. 133-140.
- Ohnishi Y. and Dharmaratne P. G. R. (1990). Shear behaviour of physical model of rock joints under constant normal stiffness condition. In **Proceedings of The International Conference on Rock Joints.** pp. 267-73.
- Ramamurthy, T. and Arora, V. K. (1994). Strength predictions for jointed rocks in confined and unconfined states. **International Journal of Mechanics and Mining Sciences and Geomechanics Abstracts** 31(1): 9-22.
- Rao, K. S. and Tiwari, R. P. (2008). A polyaxial system for testing of jointed rock mass models. **Geotechnical Testing Journal** 31(4): 285-294.
- Song, I. and Haimson, B. C. (1997). Polyaxial strength criteria and their use in estimating in situ stress magnitudes from borehole breakout dimensions. **International Journal of Rock Mechanics & Mining Sciences** 34: 3-4.
- Singh, B., Goel, R. K., Mehrotra, V. K., Garg, S. K. and Allu, M. R. (1998). Effect of intermediate principal stress on strength of anisotropic rock mass. **Tunnelling and Underground Space Technology** 13 (1): 71-79.
- Tiwari, R. P. and Rao, K. S. (2006). Post failure behaviour of rock mass under the influence of triaxial and true triaxial confinement. **Engineering Geology** 84: 112-129.
- Walsri, C., Poonprakon, P., Thosuwan, R. and Fuenkajorn, K. (2009). Compressive and tensile strengths of sandstone under true triaxial stresses. In **Proceedings of the Second Thailand Symposium on Rock Mechanics.** March 12-13, 2009, Chonburi. pp. 199-218.
- Yang, Z. Y., Di, C. C. and Yen, K. C. (2001). The effect of asperity order on the roughness of rock joints. **International Journal of Mechanics and Mining Sciences** 38: 745-752.
- Zhao, J. (1997). Joint surface matching and shear strength part b: JRC-JMC shear strength criterion. **International Journal of Rock Mechanics & Mining Sciences** 34(2): 179-185.

## ประวัตินักวิจัย

รองศาสตราจารย์ ดร. กิตติเทพ เพื่องขจร เกิดเมื่อวันที่ 16 กันยายน 2500 ที่จังหวัดกรุงเทพมหานคร จบการศึกษาปริญญาเอกจาก University of Arizona ที่ประเทศสหรัฐอเมริกา สาขาวิชา Geological Engineering ในปี ค.ศ. 1988 และสำเร็จ Post-doctoral Fellows ในปี ค.ศ. 1990 ที่ University of Arizona ปัจจุบันมีตำแหน่งเป็นประธานกรรมการบริษัท Rock Engineering International ประเทศสหรัฐอเมริกา และดำรงตำแหน่งอาจารย์ประจำอยู่ที่สาขาวิชาเทคโนโลยีธรณี สำนักวิชาวิศวกรรมศาสตร์ มหาวิทยาลัยเทคโนโลยีสุรนารี จังหวัดนครราชสีมา มีความชำนาญพิเศษ ทางด้านกลศาสตร์ของหินในเชิงการทดลอง การออกแบบและการวิเคราะห์โดยใช้คอมพิวเตอร์ ได้เคย ทำการวิจัยเป็นหัวหน้าโครงการที่สำเร็จมาแล้วมากกว่า 10 โครงการทั้งในสหรัฐอเมริกาและประเทศไทย มีสิ่งตีพิมพ์นานาชาติมากกว่า 50 บทความ ทั้งวารสาร นิตยสาร รายงานรัฐบาล และบทความการประชุมนานาชาติ เป็นผู้แต่งต่างๆ “Sealing of Boreholes and Underground Excavations in Rock” ที่ใช้อยู่ในหลายมหาวิทยาลัยในสหรัฐอเมริกา ดำรงตำแหน่งเป็นที่ปรึกษาทางวิชาการขององค์กรรัฐบาลและหลายบริษัทในประเทศไทย และแคนาดา เช่น U.S. Nuclear Regulatory Commission, U.S. Department of Energy, Dow Chemical Co., Southwest Research Institute, UNOCAL, Phelps Dodge Co. และ Amoco Oil Co. เป็นวิศวกรที่ปรึกษาของ UNISEARCH จุฬาลงกรณ์มหาวิทยาลัย เป็นคณะกรรมการในการคัดเลือกข้อเสนอโครงการของ U.S. National Science Foundation และ Idaho State Board of Education และเป็นคณะกรรมการในการคัดเลือก บทความทางวิชาการของสำนักพิมพ์ Chapman & Hall ในประเทศไทย และ Elsevier Sciences Publishing Co. ในประเทศไทยและอังกฤษ และ